

Risposte in frequenza = $\{ R(\cdot), \varphi(\cdot) \}$

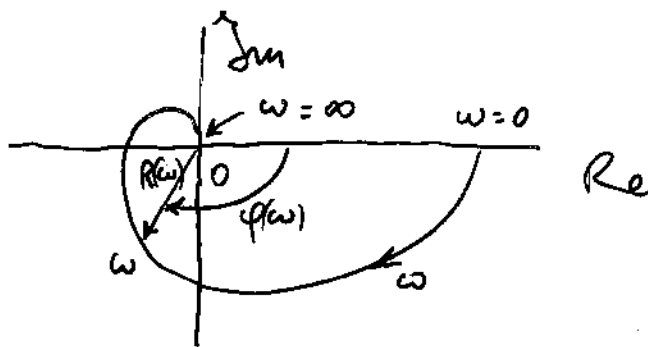
Rappresentazione cartesiane



Rappresentazione polare

$$G(i\omega) = |G(i\omega)| e^{i(\arg G(i\omega))} = R(\omega) e^{i\varphi(\omega)}$$

$$0 \leq \omega < \infty$$



un esempio di
diagramma polare

Per ogni $\omega > 0$ si è in un punto del diagramma polare.

Di solito si indica, con una freccia sul diagramma, il verso delle ω crescenti.

Di solito si evidenzia il punto corrispondente a $\omega = 0$. Se

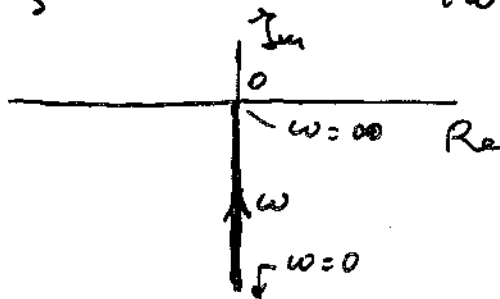
$$G(s) = \mu \frac{\prod (1 + sT_i)}{\prod (1 + sT_j)}$$

allora per $\omega = 0$ si ha $G(0) = \mu$ e il punto da cui parte il diagramma polare è sull'asse reale.

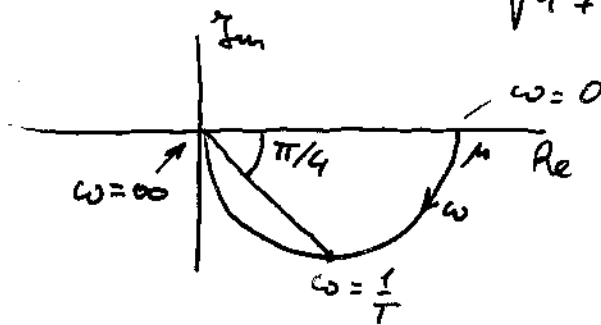
Di solito si evidenzia il punto corrispondente a $\omega = \infty$.

Esempio

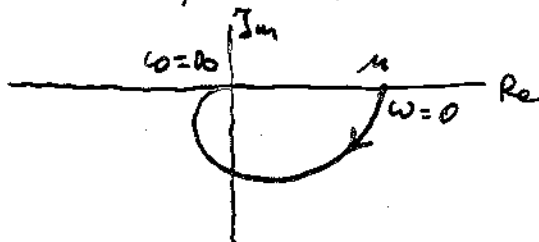
$$G(s) = \frac{1}{s} \quad G(i\omega) = \frac{1}{i\omega} = \frac{1}{\omega} (-i) = \frac{1}{\omega} e^{-i\frac{\pi}{2}}$$

Esempio

$$G(s) = \frac{\mu}{1+sT} \quad G(i\omega) = \frac{|\mu|}{\sqrt{1+\omega^2 T^2}} e^{-i \arctg \omega T}$$

 $\mu > 0$ Esempio

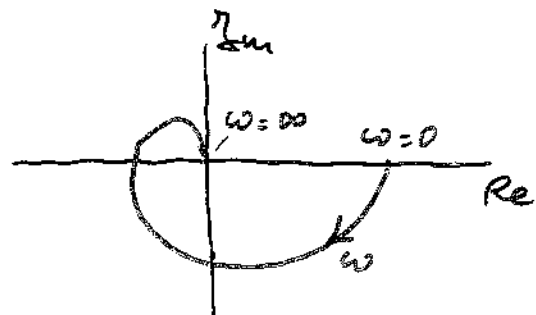
$$G(s) = \frac{\mu}{(1+sT_1)(1+sT_2)} \quad G(i\omega) = \frac{|\mu|}{\sqrt{1+\omega^2 T_1^2} \sqrt{1+\omega^2 T_2^2}} e^{i\varphi}$$



$$\varphi = -\arctg \omega T_1 - \arctg \omega T_2$$

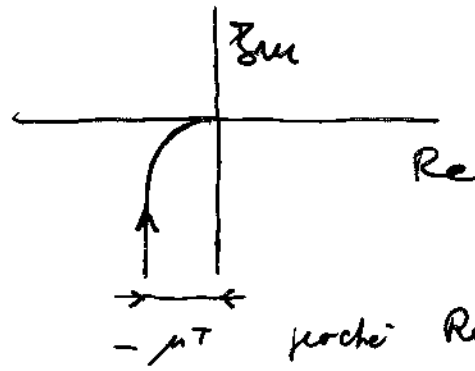
Esempio

$$G(s) = \frac{\mu}{(1+sT_1)(1+sT_2)(1+sT_3)}$$



Esempio

$$G(s) = \frac{\mu}{s(1+sT)}$$

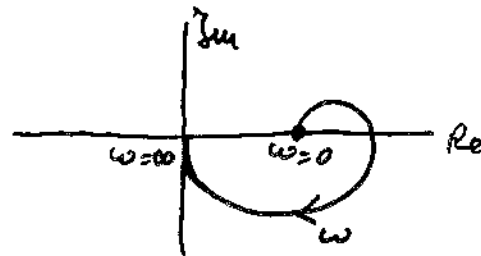


poche $\operatorname{Re}[G(i\omega)] \Big|_{\omega=0} = -\mu T$

Esempio

$$G(s) = \mu \frac{(1+sT_1)}{(1+sT_1)(1+sT_2)}$$

con $T_1 > T_2$

Esempio

$$G(s) = \frac{\omega_n^2}{s^2 + \omega_n^2}$$

$$G(i\omega) = \frac{\omega_n^2}{(i\omega)^2 + \omega_n^2} = \frac{\omega_n^2}{\omega_n^2 - \omega^2} \quad (\text{reale})$$

Esempio

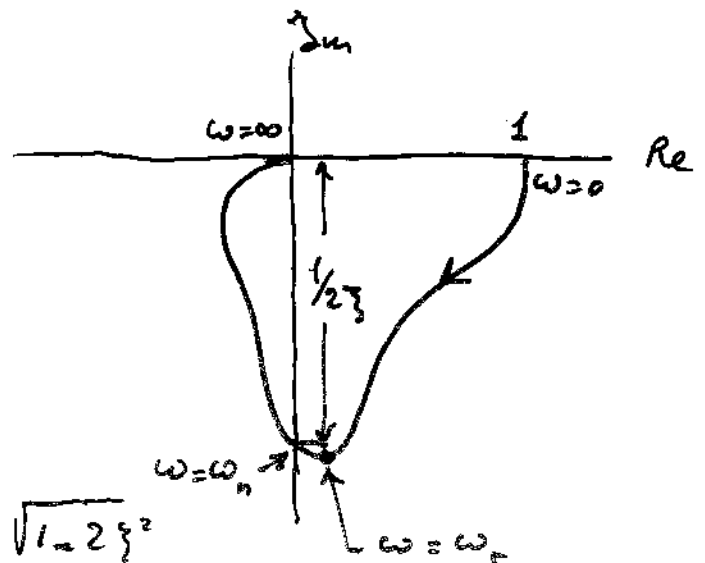
$$G(s) = \frac{\omega_n^2}{s^2 + 2\zeta\omega_n s + \omega_n^2}$$

$$G(0) = 1$$

$$G(i\omega_n) = \frac{\omega_n^2}{i2\zeta\omega_n^2} = -\frac{i}{2\zeta}$$

$$G(\infty) = 0$$

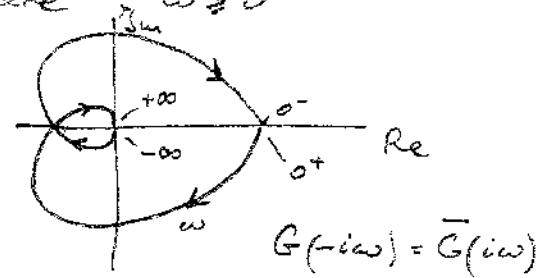
$$|G(i\omega)| = \max \quad \text{per } \omega = \omega_r = \omega_n \sqrt{1-2\zeta^2}$$



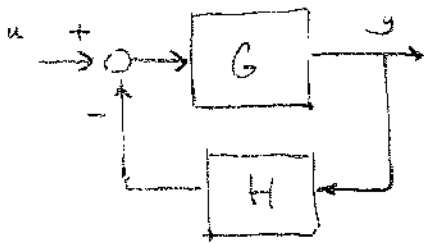
Diagrammi, regola e criterio di Nyquist

1 $G(s) \rightarrow G(i\omega) \rightarrow$ diagramma polare $\omega \geq 0$

\downarrow
diagramma di Nyquist
 $-\infty \leq \omega \leq +\infty$



2 regola di Nyquist



$$F = \frac{G}{1 + GH}$$

$$P_F^+ = P_{GH}^+ - N_{GH/-1}$$

numero di poli
instabili ad
anello chiuso

numero di
poli instabili
ad anello aperto

numero di giri in senso
antiorario del diagramma
dell'anello aperto
ma di Nyquist intorno
al punto -1

Osservazione : anche il criterio di Routh permette di
calcolare P_F^+

3 criterio di stabilità di Nyquist

Il sistema ad anello chiuso è esternamente stabile se e
solo se

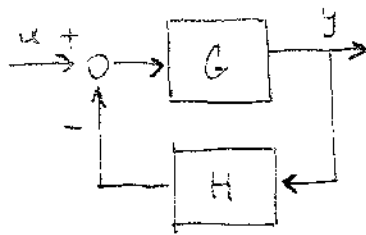
$$N_{GH/-1} = P_{GH}^+$$

Osservazione nel caso di sistemi con anello aperto stabile
il criterio di stabilità del sistema in anello chiuso è

$$N_{GH/-1} = 0$$

Esempi di uso di regole e criterio di Nyquist

44/2

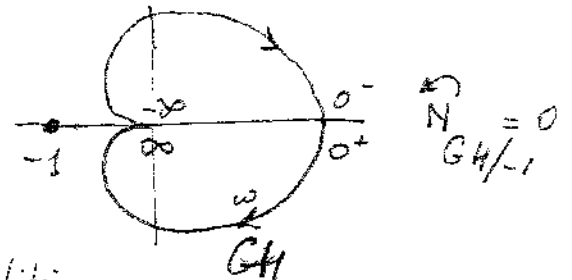


$$F = \frac{G}{1+GH}$$

$$P_F^+ = P_{GH}^+ - N_{GH/-1}$$

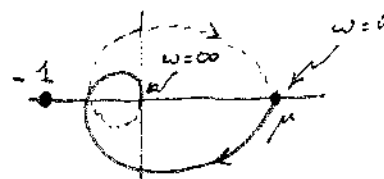
① $GH = \frac{\mu}{(1+sT_1)(1+sT_2)}$

$$P_{GH}^+ = 0$$

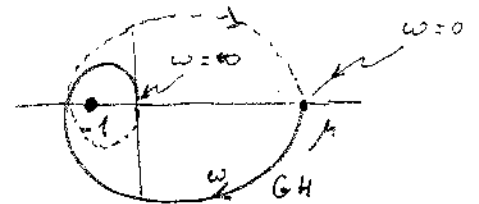


Quindi $P_F^+ = 0 - 0 \Rightarrow$ est. stabile

② $GH = \frac{\mu}{(1+sT)^3}$



μ piccolo
 $N_{GH/-1} = 0$
 $P_F^+ = 0 - 0 = 0 \Rightarrow$ stab.

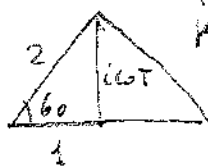


μ grande
 $N_{GH/-1} = -2$
 $P_F^+ = 0 - (-2) = 2$
 instabile (con due poli instabili)

Domanda

Qual'è il valore critico di μ ?

$$\frac{\mu}{|1+i\omega T|^3} = \frac{\mu}{2^3} = 1 \quad \text{per passare per il punto } -1$$



per avere $60^\circ \times 3 = 180^\circ$

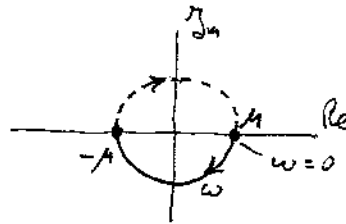
conclusione $\mu_{crit} = 8$

Osservazione

entrambi i problemi ① e ② si potevano risolvere in altro modo (autovalori della matrice A, criterio di Routh o Hurwitz, simulazione)

③ $GH = \mu \frac{1-sT}{1+sT}$ (sfasatore puro)

$$P_{GH}^+ = 0$$



$\mu < 1 \Rightarrow$ il punto -1 è esterno al cerchio $\Rightarrow N_{GH/-1} = 0$

\Downarrow
stabilità

$\mu > 1 \Rightarrow$ il punto -1 è interno al cerchio $\Rightarrow N_{GH/-1} = -1$

\Downarrow
instabilità

④ $GH = \mu \frac{1}{s} \frac{\omega_n^2}{s^2 + 2\zeta\omega_n s + \omega_n^2}$

cerchio all'infinito corrispondente al cerchietto nell'origine \rightarrow

$GH(i\omega) = \mu \frac{\omega_n}{i\omega (i\omega)^2 + i2\zeta\omega\omega_n + \omega_n^2}$

poli ad anello aperto (il polo nell'origine va evitato con un cerchietto)

$P_{GH}^+ = 0$

per ω piccolo $GH \approx \frac{\mu}{i\omega} = -i \frac{\mu}{\omega}$

per $\omega \rightarrow \infty$ $GH \rightarrow 0$ con $3 \times \frac{\pi}{2}$ riterdolo

per $\omega = \omega_n$ $GH = -\frac{\mu}{2\zeta\omega_n}$

Quindi $\boxed{\mu < 2\zeta\omega_n} \Rightarrow$ punto -1 esterno $\Rightarrow N_{GH/-1} = 0$

Risolviamo con il metodo di Hurwitz

\Downarrow
stabilità

$$1 + GH = 0 \Rightarrow s(s^2 + 2\zeta\omega_n s + \omega_n^2) + \mu\omega_n^2 = 0$$

$$s^3 + 2\zeta\omega_n s^2 + \omega_n^2 s + \mu\omega_n^2 = 0$$

$$H = \begin{vmatrix} 2\zeta\omega_n & 1 & 0 \\ \mu\omega_n^2 & \omega_n^2 & 2\zeta\omega_n \\ 0 & 0 & \mu\omega_n^2 \end{vmatrix}$$

$$D_1 = 2\zeta\omega_n > 0 \text{ sempre}$$

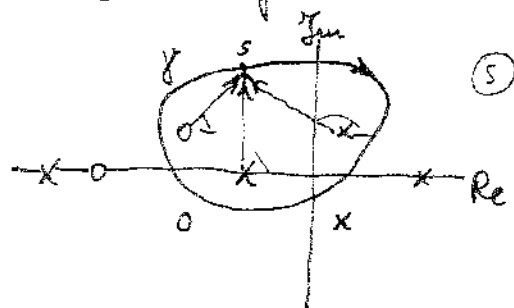
$$D_2 = 2\zeta\omega_n^3 - \mu\omega_n^2 > 0 \text{ per } \boxed{\mu < 2\zeta\omega_n}$$

$$D_3 = \dots > 0 \text{ se } D_2 > 0$$

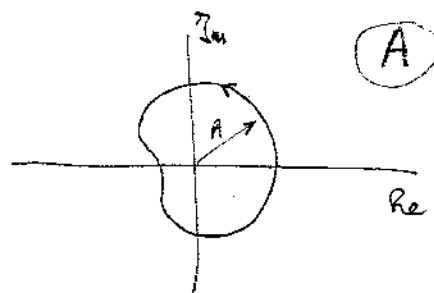
Dimostrazione della regola di Nyquist

Premessa

$A(s)$ = funzione di trasferimento



$A(s) \Rightarrow$



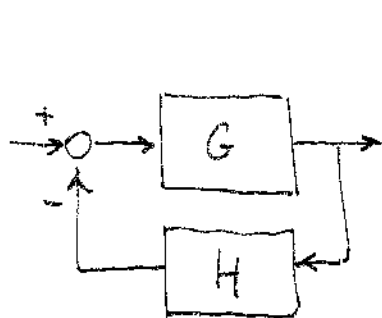
poli e zeri di $A(s)$
e linea chiusa qualsiasi γ
percorra in senso orario

$\gamma \Rightarrow \Gamma$: i giri in senso orario di $A(s)$ sono pari al numero di zeri meno il numero di poli all'interno di γ , o viceversa

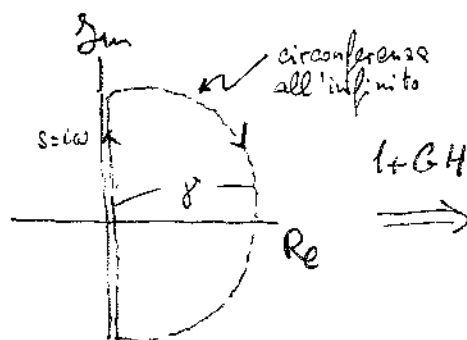
$$N_{A/o} = P_{A/\gamma} - Z_{A/\gamma}$$

$$\Leftarrow N_{A/o} = Z_{A/\gamma} - P_{A/\gamma}$$

Applicazione ai sistemi retroazionati



$$F = \frac{G}{1+GH}$$



percorso γ di Nyquist

$1+GH \Rightarrow$

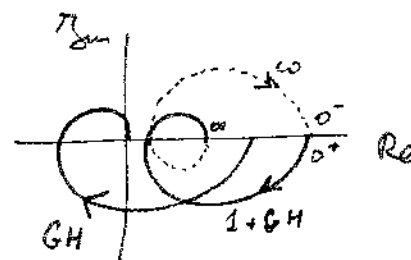


diagramma polare di GH
e diagramma di Nyquist
di $1+GH$

$$P_F^+ = Z_{1+GH}^+$$

↑
poli
positivi
di F

↑
zeri
positivi
di $1+GH$

$$N_{1+GH/o} = P_{1+GH}^+ - Z_{1+GH}^+$$

$$\downarrow \quad \downarrow \quad \downarrow$$

$$N_{GH/-1} = P_{GH}^+ - P_F^+$$

per cui, risolvendo rispetto a P_F^+ , si ottiene la regola di Nyquist

$$P_F^+ = P_{GH}^+ - N_{GH/-1}$$

PROBLEMI

T. II

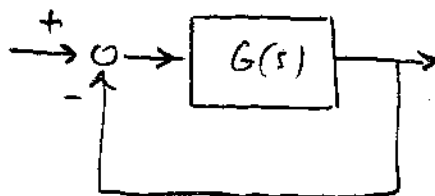
Si verifichi che se il diagramma di Nyquist di GH passa per il punto -1

(a) $N_{GH/-1}$ non è definito

(b) il sistema ad anello chiuso ha due poli immaginari e, pertanto, non è esternamente stabile.

T. II

Si consideri il sistema di figure



con

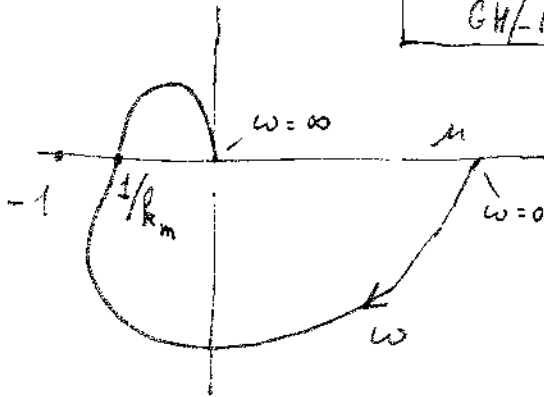
$$G(s) = p \frac{s}{s^2 + 1}$$

e si mostri che tale sistema è esternamente stabile per tutti i valori di $p > 0$. Per verificare la correttezza della soluzione si suggerisce di risolvere il problema anche con il metodo di Hurwitz.

Margine di guadagno e margine di fase

Ipotesi anello aperto stabile

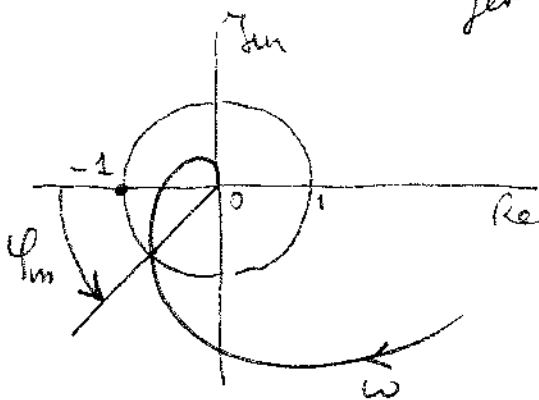
$$\boxed{\angle N_{GH/-1} = 0} \Leftrightarrow \text{esterna stabilità anello chiuso}$$



k_m = margine di guadagno

Per mandare il sistema in instabilità si deve moltiplicare il guadagno per k_m

Osservazione : se il valore del guadagno è molto incerto è bene che k_m sia grande per garantire la stabilità



φ_m = margine di fase

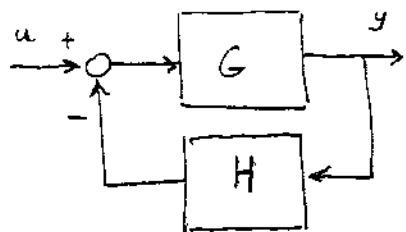
di solito è espresso in gradi

$(\varphi_m \frac{\pi}{180})$ è il margine di fase in radianti

Osservazione se c'è incertezza sulle costanti di tempo o se esistono ritardi (e^{-Ts}) ~~trascurati~~ nell'anello che sono stati trascurati nella modellizzazione è bene che φ_m sia grande (per esempio pari a 60°)

k_m e φ_m grandi \Rightarrow robustezza (cioè stabilità garantita anche per parametri diversi dai nominali)

Come calcolare k_m



$$k_m = \mu_{crit}$$

μ = guadagno d'anello

k_m = margine di guadagno

μ_{crit} = valore critico del guadagno

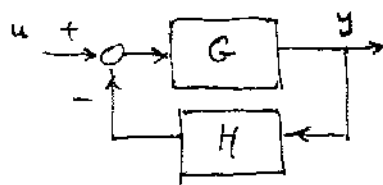
($\mu < \mu_{crit}$ esterna stabile)

$\mu > \mu_{crit}$ esterna instabile)

μ_{crit} può essere normalmente calcolato con facilità con il metodo di Hurwitz (o con quello di Routh) per cui si ha

$$k_m = \frac{\mu_{crit}}{\mu}$$

Esistono un gran numero di casi in cui μ_{crit} è noto (perché calcolabile analiticamente) in funzione delle costanti di tempo del sistema in quello aperto. Due di questi casi li abbiamo già visti:



$$GH = \frac{\mu}{(1+sT_1)(1+sT_2)(1+sT_3)}$$

$$\mu_{crit} = (T_1 + T_2 + T_3) \left(\frac{1}{T_1} + \frac{1}{T_2} + \frac{1}{T_3} \right)^{-1}$$

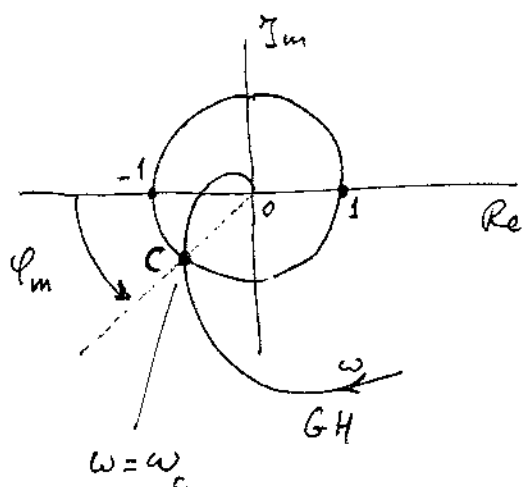
$$GH = \frac{\mu}{s} \frac{\omega_n^2}{s^2 + 2\zeta\omega_n s + \omega_n^2} \quad \mu_{crit} = 2\zeta\omega_n$$

Un altro caso interessante, che studieremo in seguito,

$$e^{-\tau s} \quad GH = \mu \frac{e^{-\tau s}}{(1+sT)}$$

Come calcolare φ_m

45/3



Per $\omega = \omega_c$ deve essere

$$|GH(i\omega_c)| = 1$$

$$\arg GH(i\omega_c) = -\pi + \varphi_m \frac{\pi}{180} \quad (*)$$

(ricordiamo che φ_m è in gradi)

Dalla (*) segue che

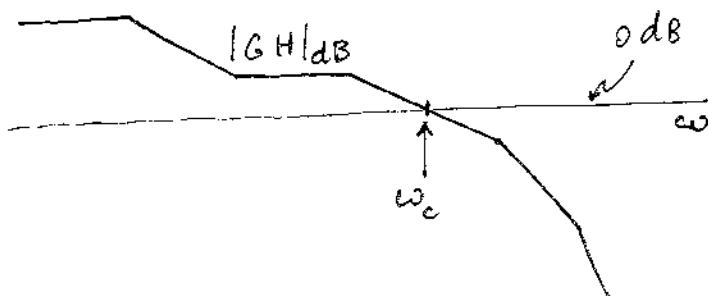
$$\varphi_m = 180^\circ + \frac{180}{\pi} \arg GH(i\omega_c)$$

↑ negativo nel caso della figura

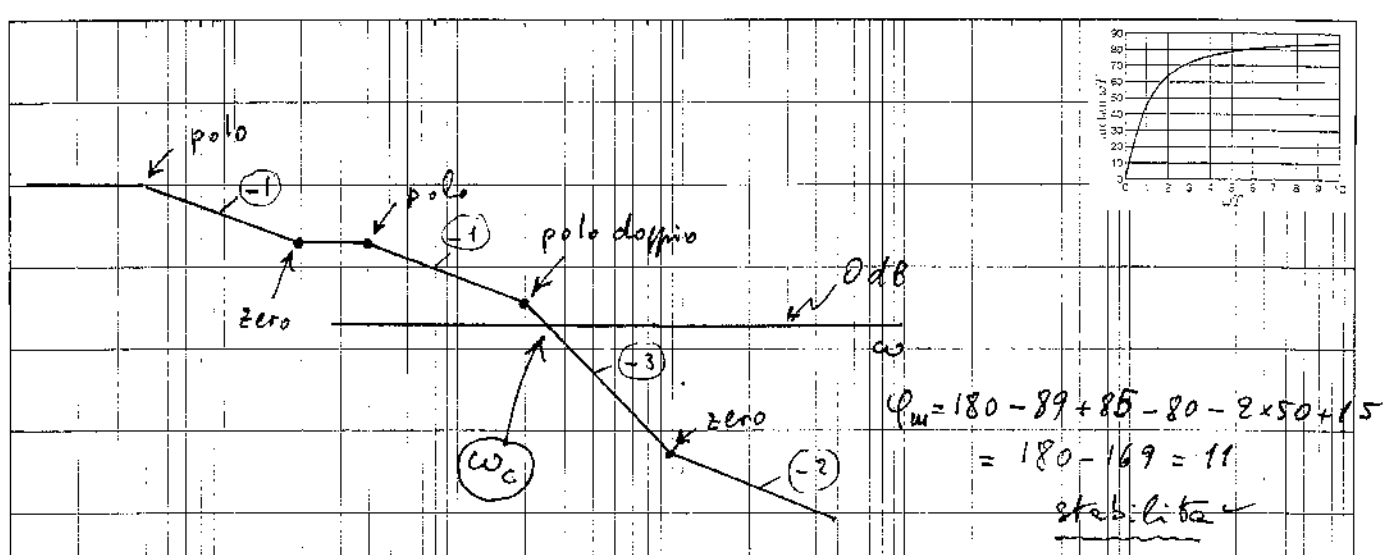
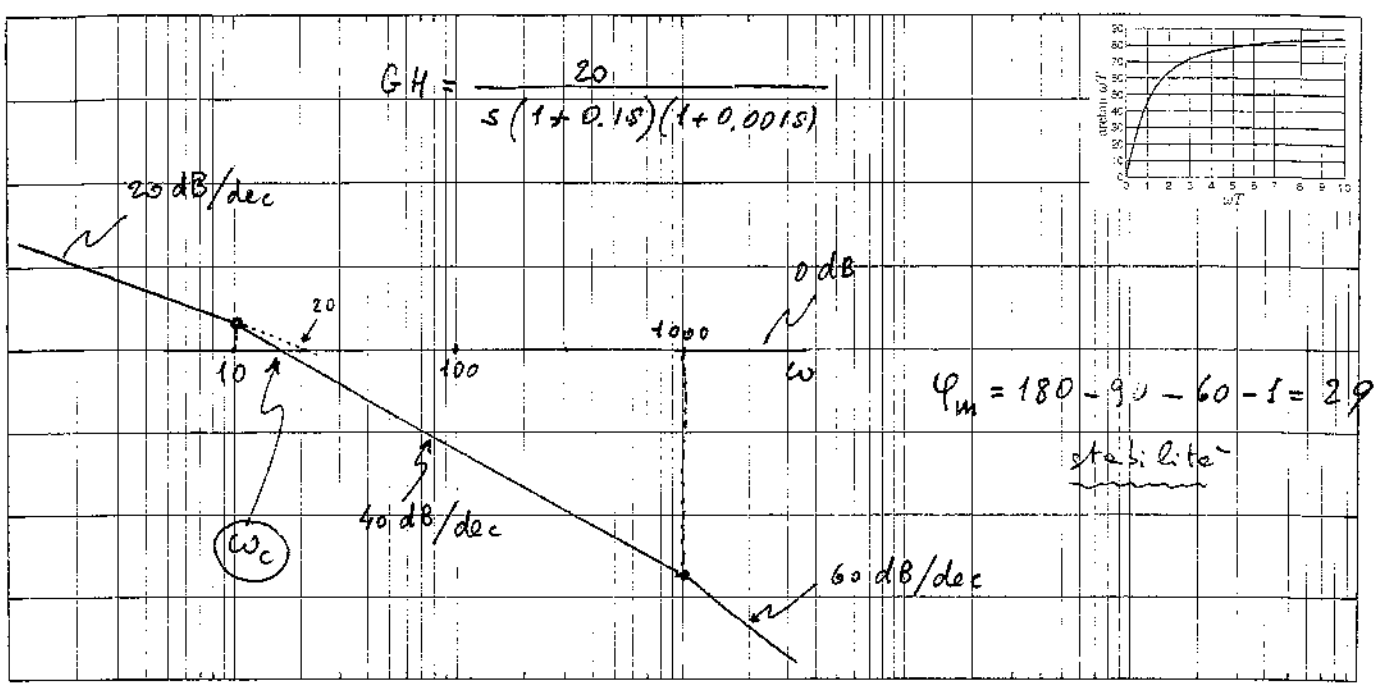
Si ricorda che se

$$GH(s) = \frac{\mu}{s^h} \frac{\prod (1 + s\tau_{d_i})}{\prod (1 + sT_{j_i})} \Rightarrow \arg GH(i\omega) = \arg \mu - h \frac{\pi}{2} + \sum \arctan(\omega\tau_{d_i}) - \sum \arctan(\omega T_{j_i})$$

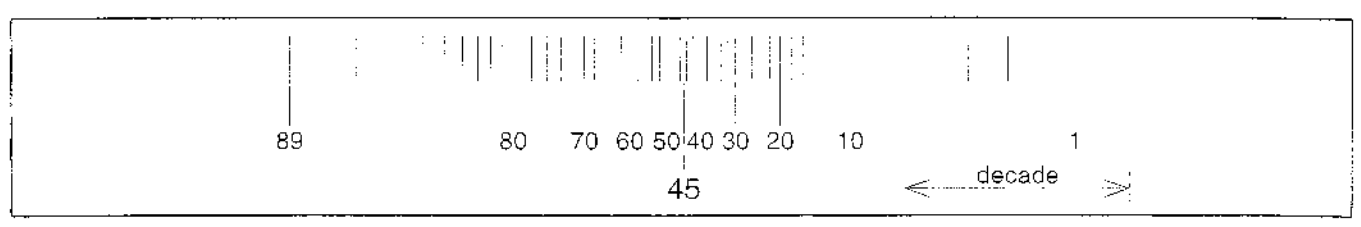
Per quanto riguarda il calcolo di ω_c è utile usare i diagrammi di Bode approssimati



Calcolo di φ_m

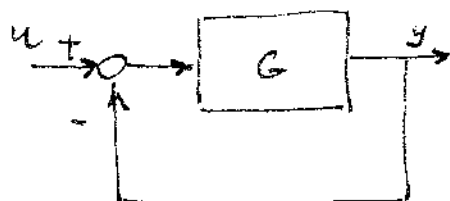


Attenzione il vero ω_c è leggermente a sinistra di quello indicato e il vero margine di fase è circa 20°.

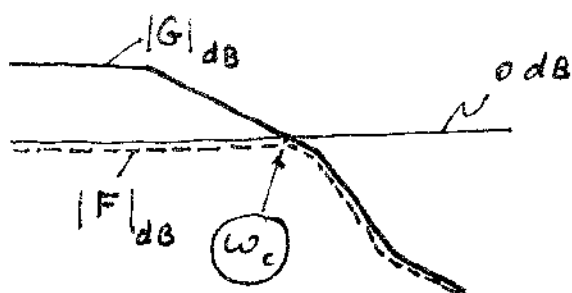


φ_m e risonanza dell'anello chiuso

Consideriamo il sistema di controllo con $H=1$



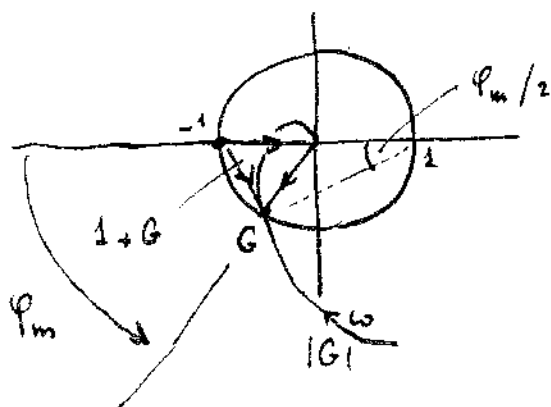
$$F = \frac{G}{1+G}$$



— $|G|_{dB}$ anello aperto

--- $|F|_{dB}$ anello chiuso

Il sistema ad anello chiuso è un passa-basso con $B = [0; \omega_c]$



$$\frac{|1+G|}{2} = \sin(\varphi_m/2) \quad \text{per } \omega = \omega_c \quad (*)$$

← margine di fase in radianti

D'altra parte, se supponiamo che il sistema ad anello chiuso abbia due poli complessi coniugati come poli dominanti, possiamo scrivere

$$F = \frac{\omega_n^2}{s^2 + 2\zeta\omega_n s + \omega_n^2}$$

Infine, supponendo $\omega_n \approx \omega_c$, si ottiene

$$|F(j\omega_c)| = \left| \frac{\omega_c^2}{- \omega_c^2 + 2\zeta\omega_c^2 i + \omega_c^2} \right| = \frac{1}{2\zeta} \quad (**)$$

Poiché

$$|F(i\omega_c)| = \frac{|G(i\omega_c)|}{|1 + G(i\omega_c)|} = \frac{1}{|1 + G(i\omega_c)|}$$

dalle (*) e (**) otteniamo

$$\frac{1}{2\zeta} = \frac{1}{2 \sin(\varphi_m^r/2)} \Rightarrow \boxed{\zeta = \sin(\varphi_m^r/2)}$$

Approssimando $\sin(\varphi_m^r/2)$ con $\varphi_m^r/2$ ed esprimendo il margine di fase in gradi, si ottiene

$$\zeta = \frac{\varphi_m^r}{2} = \frac{\varphi_m^\circ \pi}{2 \cdot 180}$$

Questa relazione è, a volte, approssimata con la semplice regola

$$\boxed{\zeta = \frac{\varphi_m^\circ}{100}}$$

$$\varphi_m = 70^\circ \Rightarrow \zeta = 0.7$$

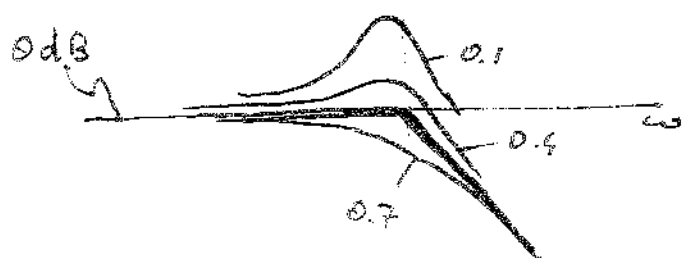
non c'è risonanza

$$\varphi_m = 40^\circ \Rightarrow \zeta = 0.4$$

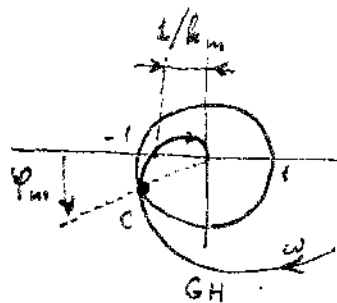
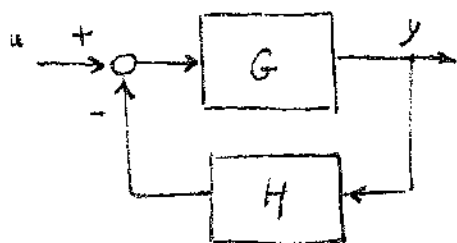
debole risonanza

$$\varphi_m = 10^\circ \Rightarrow \zeta = 0.1$$

forte risonanza



Robustezza

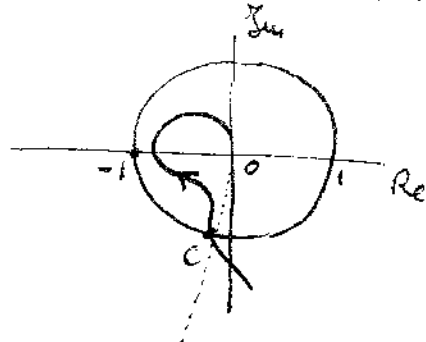


ϕ_m
 k_m } "grandi"

Ipotesi : $P_{GH}^+ = 0$, un solo punto C

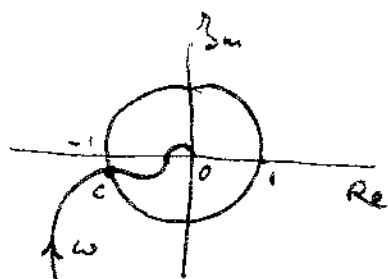
$$\phi_m = 0 \Leftrightarrow k_m = 1$$

Non basta che ϕ_m sia grande



ϕ_m grande
robustezza bassa (perché k_m basso)

Non basta che k_m sia grande



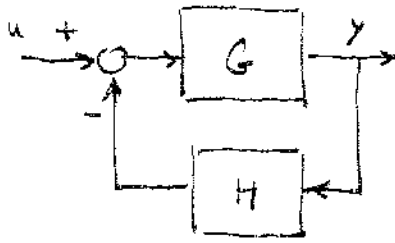
k_m grande
robustezza bassa (perché ϕ_m basso)

$$k_m / \mu = \mu_{crit}$$

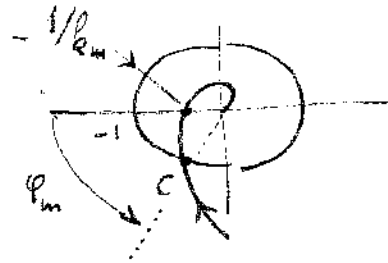
↑
quedegno
nominale
anello aperto ($\mu = G H(0)$)

$$k_m \text{ grande} \Leftrightarrow \mu \text{ piccolo}$$

Criterio di Bode della pendenza -1



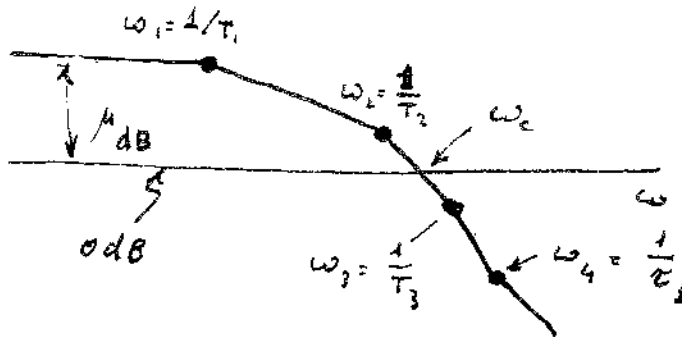
Ipotesi: $P_{GH}^+ = 0$, un solo punto C



$$\varphi_m > 0$$

$$k_m > 1$$

Taglio con pendenza -2

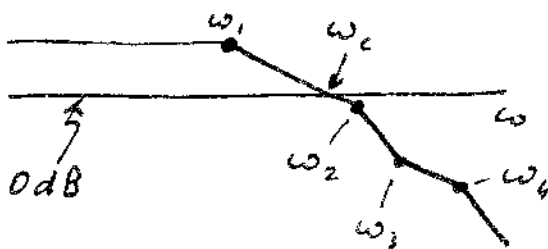


$$GH = \frac{(1+s\tau_1)}{(1+sT_1)(1+sT_2)(1+sT_3)}$$

ω_1 e $\omega_2 \rightarrow \sim 90^\circ$ ritardo a testa se lontane da ω_c
 $\omega_3 \rightarrow \sim 0^\circ$ ritardo se lontane da ω_c
 $\omega_4 \rightarrow \sim 0^\circ$ ritardo se lontane da ω_c

} $\varphi_m \approx 0$

Taglio con pendenza -1



$\omega_1 \rightarrow 90^\circ$ di ritardo
 $\omega_2 \rightarrow 40^\circ$ di ritardo
 $\omega_3 \rightarrow \sim 0^\circ$ di ritardo
 $\omega_4 \rightarrow \sim 0^\circ$ di anticipo

} $\varphi_m \approx 50^\circ$

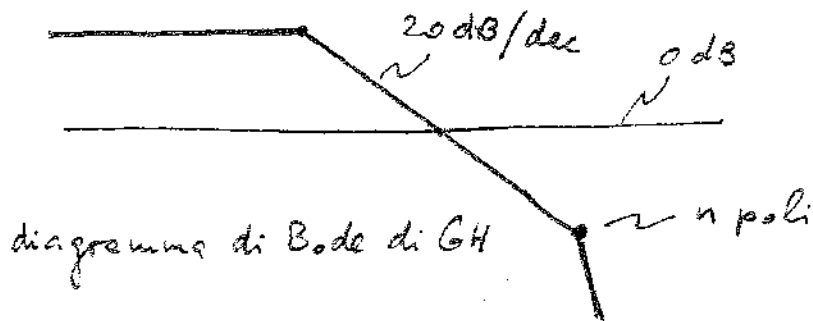
Criterio di Bode

L'anello chiuso è stabile se il diagramma di Bode di GH taglia l'asse a 0 dB con pendenza -1

Osservazione: esistono molte eccezioni (vedi problemi), in particolare se l'anello aperto non è a sfasamento minimo

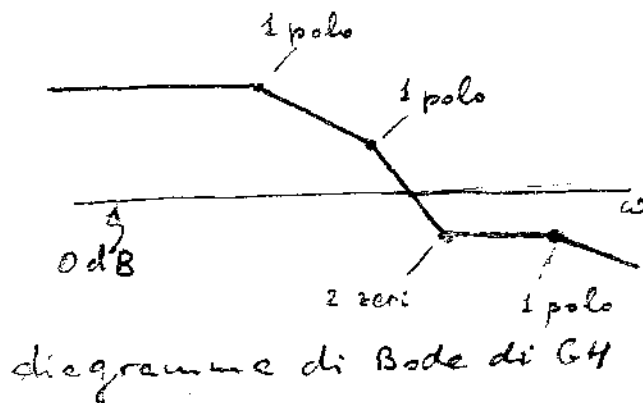
PROBLEMI

N. II



Dire perché per n sufficientemente grande il sistema ad anello chiuso è instabile anche se è soddisfatto il criterio di Bode

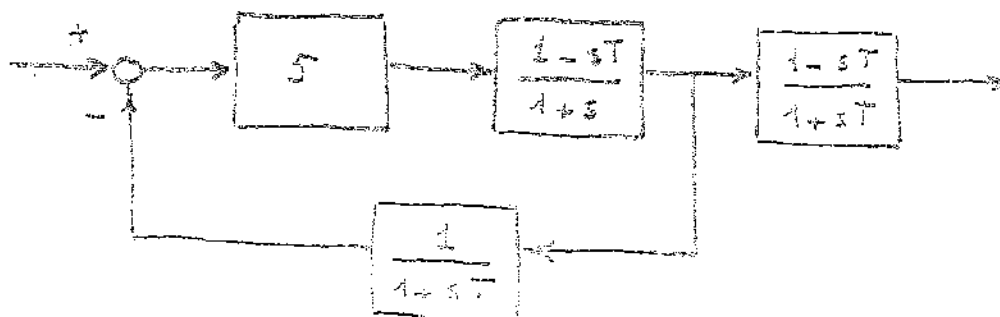
N. II



Dire perché il sistema ad anello chiuso è stabile anche se il criterio di Bode non è soddisfatto

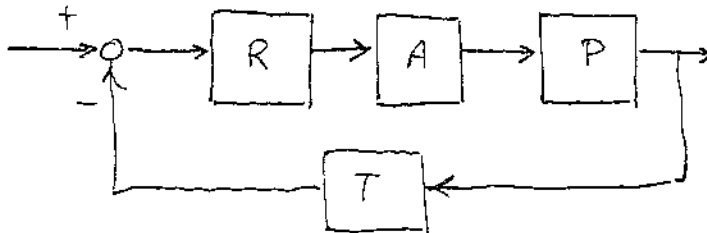
N. II

Si dica per quali valori della costante di tempo T il sistema di figura è esternamente stabile



N. II

Si consideri il sistema di controllo descritto in figura



con

$$R(s) = \mu \frac{1+s}{s}$$

$$A(s) = \frac{s}{1+0.1s}$$

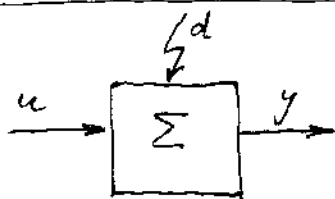
$$P(s) = 2 \frac{1-s}{1+s \cdot 10}$$

$$T(s) = \frac{1}{1+s}$$

Si determini il guadagno μ del regolatore in modo che il margine di fase sia almeno di 50° .

Finalità dei sistemi di controllo

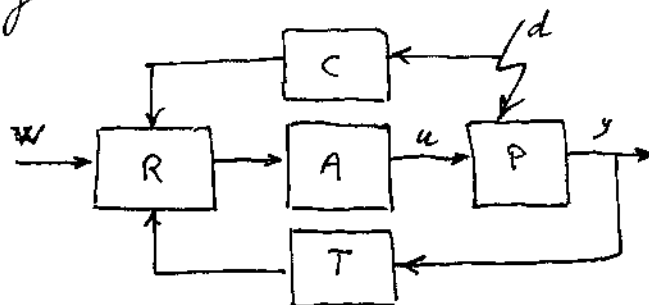
47/1



Problema : variare u in modo che y vari nel modo desiderato anche in presenza di disturbi d

- Non esiste soluzione ideale
- Spesso u non può essere variato a piacere (costo del controllo)
- Va distinto il caso in cui si conoscano d e/o y da quello in cui non li si conoscano (ruolo dell'informazione)

Schema generale



P è di solito assegnato
 R, C, A, T sono invece da progettare

Esempi

- $P = \text{sala cinematografica}$
 $u = \text{flusso di calore (riscaldamento o ventilazione)}$
 $y = \text{temperatura in sala}$
 $d = \text{temperatura esterna e numero di spettatori}$
obiettivi : mantenere y a 20° ($y = \bar{u}$) e spendere poco
- $P = \text{lago}$
 $u = \text{posizione paratoie diga di regolazione}$
 $y = \text{livello del lago}$
 $d = \text{condizioni meteorologiche}$
obiettivi : evitare le piene e le alluvioni

Progetti accettabili

Progetto : scelta tra varie possibili decisioni al fine di realizzare al meglio alcuni obiettivi

* h obiettivi di solito incommensurabili

Es. $\min [\text{costo}, \text{ingombro}, \text{rischio}]$

g_1, g_2, \dots, g_h indicatori da minimizzare (uno per obb.)

* k variabili di decisione (parametri di progetto)

p_1, p_2, \dots, p_k

* vincoli

$g_i \in G_i \quad i = 1, \dots, h$

vincoli sugli obiettivi (prescritti)

$p_i \in P_i \quad i = 1, \dots, k$

vincoli sulle decisioni

Problema (a obiettivi multipli)

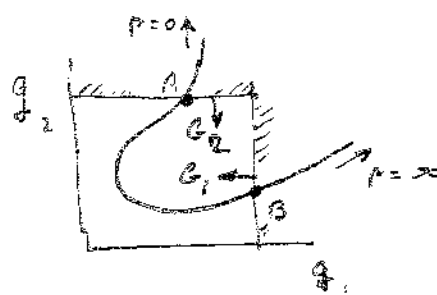
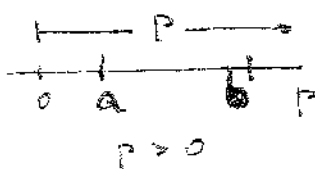
$\min_{\{p_1, \dots, p_k\}} [g_1, g_2, \dots, g_h] \quad \text{con } g_i = g_i(p_1, \dots, p_k)$

$p_i \in P_i \quad g_i \in G_i$

Soluzione ammissibile (progetto accettabile)

(p_1, \dots, p_k) tale che $g_i \in G_i \quad i = 1, \dots, h$

Esempio



$a < p < b$
soluzioni accettab.

Progetti efficienti

$$\min_{\{p_1, \dots, p_k\}} [g_1, g_2, \dots, g_h] \quad \text{con } g_i = g_i(p_1, \dots, p_k)$$

$$p_i \in P_i \quad i = 1, \dots, k$$

$$g_i \in G_i \quad i = 1, \dots, h$$

Le soluzioni ammissibili si dividono in efficienti (o non dominate) e non efficienti (o dominate).

I progetti efficienti sono quelli non migliorabili

Soluzione efficiente (progetto non migliorabile)

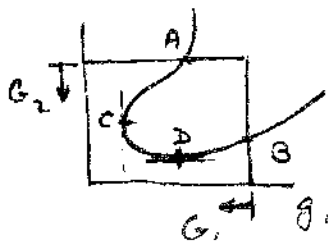
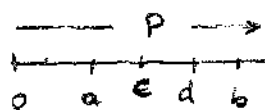
Una soluzione accettabile (p_1^*, \dots, p_k^*) si dice efficiente

se non esiste un'altra soluzione accettabile (p_1, \dots, p_k)

con

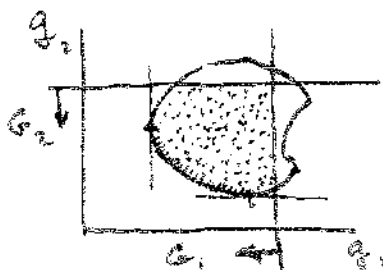
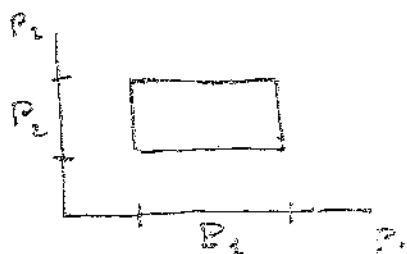
$$g_i(p_1, \dots, p_k) \leq g_i(p_1^*, \dots, p_k^*) \quad i = 1, \dots, h$$

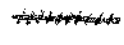
e la disuguaglianza verificata strettamente in almeno una delle relazioni.

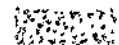
Esempio

$a < p < b$ accett.

$c < p < d$ efficient

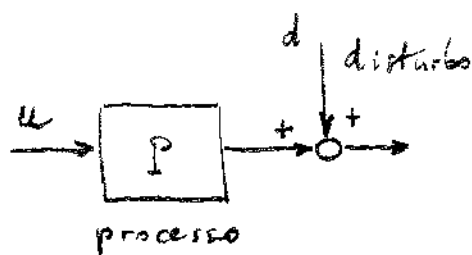
Esempio

 soluzioni efficienti

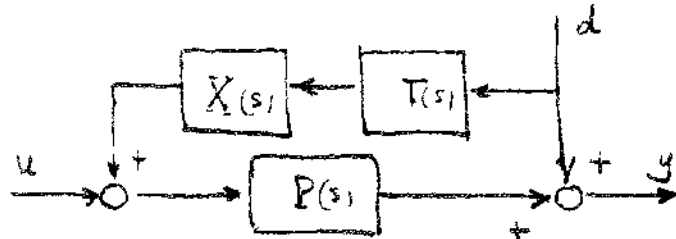
 soluzioni accettabili

Compensazione

48/1



se d è misurabile si può cercare di compensare il suo effetto sull'uscita con lo schema seguente



$X(s)$ = f.d.t. del compensatore

compensazione "perfetta" $X T P + 1 = 0$

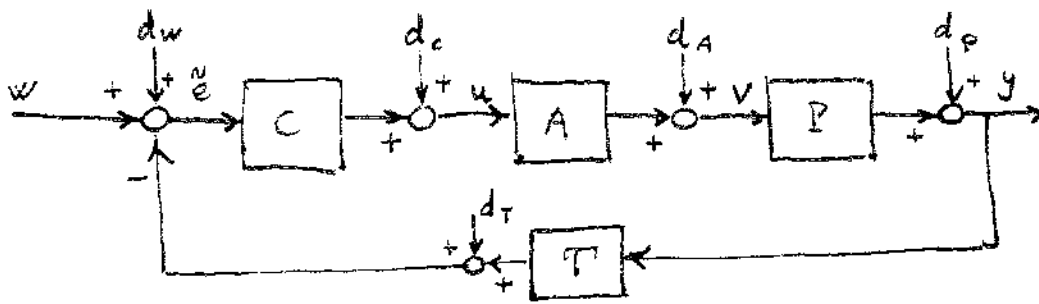
$$X(s) = - \frac{1}{T(s) P(s)} \quad (*)$$

Osservazione 1 : non è necessario che la compensazione sia perfetta; in realtà basta che la (*) sia valida per $s = i\omega$ con ω nella banda del disturbo d .

Osservazione 2 : se T e P non sono entrambi impropri la (*) non è realizzabile; rimedio: aggiungere poli fuori banda.

Osservazione 3 : se P è a sfasamento non minimo (zeri instabili) X risulta instabile; in questo caso la compensazione è puramente teorica perché i poli instabili di X non si cancelleranno mai esattamente con gli zeri instabili di P e la variabile di controllo sarà esplosiva.
(importante)

Retroazione



P = processo o impianto o sistema da controllare

A = attuatore

T = trasduttore

C = controllore
(regolatore)

} strumentazione (spesso integrata con l'impianto)

w = segnale di riferimento (set-point quando costante)

u = variabile di controllo

v = variabile manipolabile (ingresso del processo)

y = variabile controllata (uscita del processo)

d_i = disturbi (non sempre tutti presenti, o, meglio, non sempre tutti rilevanti)

e = errore = w - y (diverso da \tilde{e} se c'è il disturbo d_w)

• La tipologia dei disturbi non è sempre nota

• La funzione di trasferimento del processo non è sempre nota

• Il processo è a volte non lineare e i suoi parametri sono a volte lentamente variabili

• Se un disturbo è misurabile si può cercare di compensarlo

Obiettivi

Obiettivi: statici (alle basse frequenze): $e(\infty)$ piccolo (o nullo) (precisione statica)
 dinamici: robustezza, rapidità di risposta, precisione dinamica (bande large), parimonia controllo
 :

Precisione statica (errori piccoli in condizioni stazionarie)

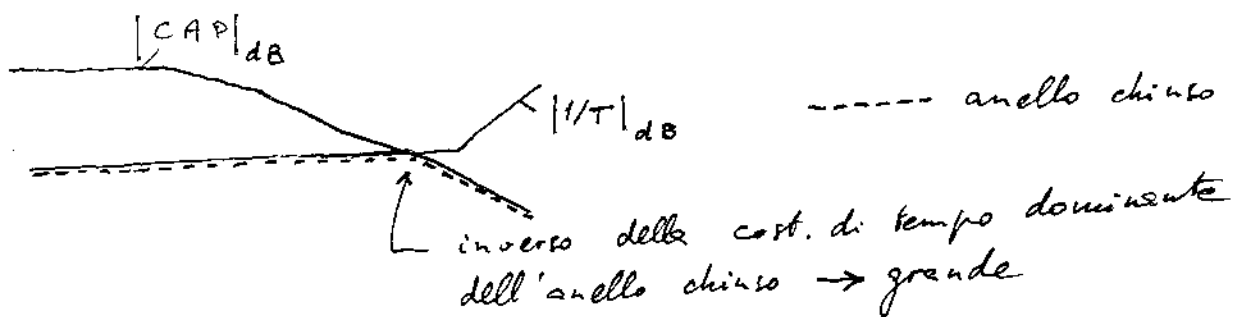
Anello aperto di "tipo 0"

$$\frac{\bar{e}}{\bar{w}} = \frac{1}{1 + \mu_{anello}} \quad \frac{\bar{e}}{d_A} = \frac{\mu_P \mu_r}{1 + \mu_{anello}} \quad \frac{\bar{e}}{d_P} = \frac{\mu_T}{1 + \mu_{anello}} \Rightarrow \mu_{anello} \text{ grande} \Rightarrow \mu_c \text{ grande}$$

Anello aperto di "tipo 1" (1 integratore in C o nella linea di andata)
 $\bar{e} = 0$

Robustezza (il sistema rimane stabile anche se perturbato)
 φ_m e k_m grandi

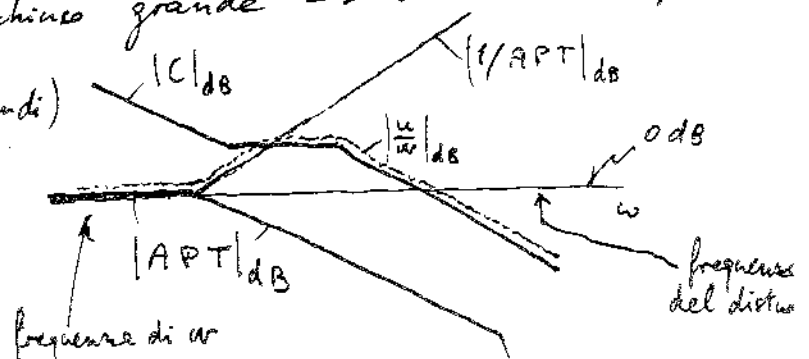
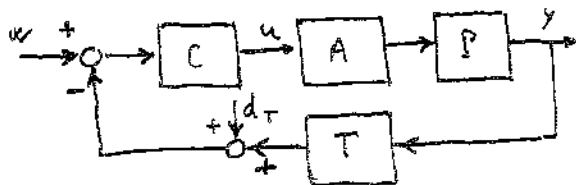
Rapidità di risposta (per variazioni a scalino di w)



Precisione dinamica (y segue fedelmente w)

Banda del sistema ad anello chiuso grande \rightarrow vedi obiettivo precedente

Parimonia nel controllo (evitare u grandi)



Parametri del controllore

45/4

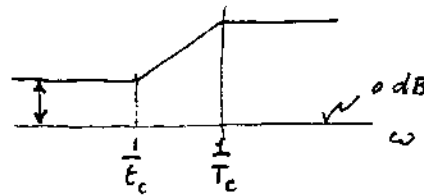
Spesso si usano regolatori industriali che hanno struttura fissata (azione proporzionale, integrale e derivativa (PID)).
Questi regolatori hanno tipicamente tre parametri.

Normalmente in fase di progetto si limita a priori la struttura del regolatore.

Esempi

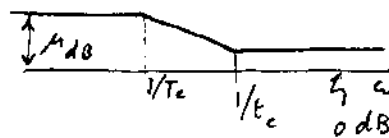
$$C(s) = \mu$$

$$C(s) = \mu \frac{1 + s t_c}{1 + s T_c}$$



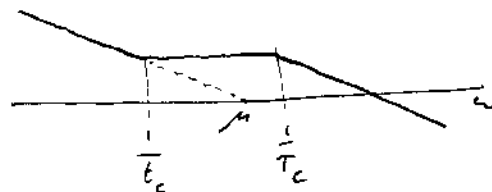
rete anticipatrice
 $t_c > T_c$

$$C(s) = \mu \frac{1 + s t_c}{1 + s T_c}$$



rete ritardatrice
 $T_c > t_c$

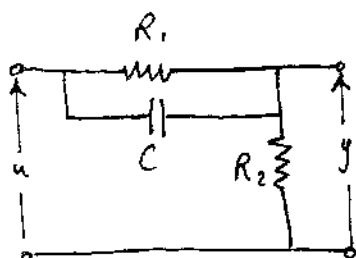
$$C(s) = \frac{\mu}{s} \frac{1 + s t_c}{1 + s T_c}$$



Spesso nella sintesi del regolatore si effettua una cancellazione di un polo del processo con lo zero del regolatore. In altre parole, spesso si sceglie $t_c = T_p$ dove T_p è la costante di tempo (o una delle costanti di tempo) del processo.

A. II

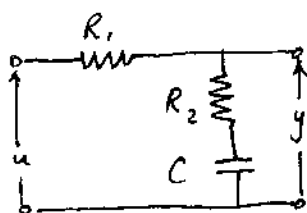
Si calcoli la funzione di trasferimento della rete elettrica mostrata in figura e si verifichi che



tale rete è anticipatrice, cioè
è del tipo $\mu \frac{1+sT}{1+sT}$ con $t > T$

A. II

Si calcoli la funzione di trasferimento della rete elettrica mostrata in figura e si verifichi che



tale rete è ritardatrice, cioè

è del tipo $\mu \frac{1+sT}{1+sT}$ con $T > t$

T. I

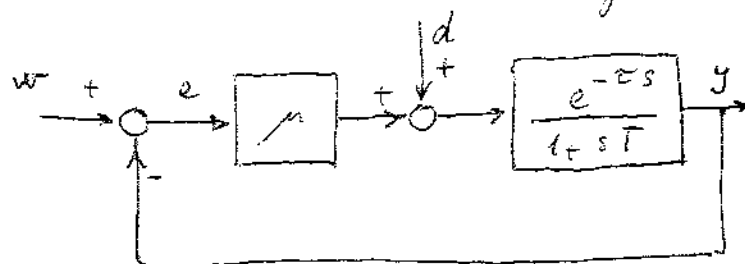
Una rete si dice "a sella" quando la sua funzione di trasferimento è

$$\mu \frac{(1+s t_1)(1+s t_2)}{(1+s T_1)(1+s T_2)} \quad \text{e } T_1 > t_1 \geq t_2 > T_2$$

Si giustifichi il nome dato a questa rete tracciandone il diagramma di Bode

UN ESEMPIO : RITARDO E COSTANTE DI TEMPO

Un certo numero di sistemi di regolazione possono essere modellizzati dal seguente schema



3 parametri: μ, τ, T

Gli obiettivi della regolazione sono spesso riducibili a dei vincoli imposti ai seguenti quattro indicatori:

ρ = fattore di riduzione dell'impatto del disturbo sull'uscita all'equilibrio $\geq \rho^*$

ω_c = banda passante del sistema $\geq \omega_c^*$

k_m = margine di guadagno $\geq k_m^*$

φ_m = margine di fase $\geq \varphi_m^*$

Come già detto, ρ individua la precisione statica, ω_c la rapidità di risposta e k_m e φ_m la robustezza.

Mostriamo che

$$\rho = \rho(\mu) \quad , \quad \omega_c = \omega_c(\mu, T) \quad , \quad k_m = k_m\left(\mu, \frac{\tau}{T}\right) \quad \varphi_m = \varphi_m\left(\mu, \frac{\tau}{T}\right)$$

Calcolo di $\rho(\mu)$

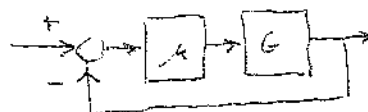
All'equilibrio $\begin{cases} \text{senza regolazione} & \bar{y} = \bar{d} \\ \text{con regolazione} & \bar{y} = \frac{1}{1+\mu} \bar{d} \end{cases}$

Pertanto

$$\rho = 1 + \mu$$

l'effetto del disturbo \bar{d} ridotto di $(1+\mu)$ volte

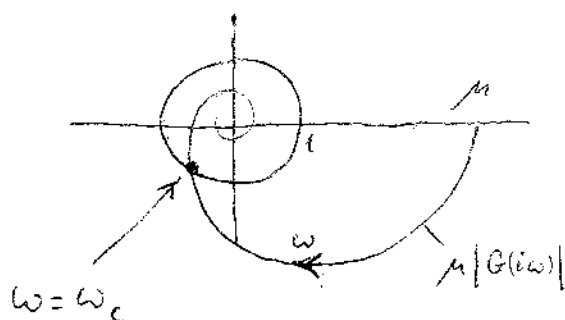
Calcolo di $\omega_c(\mu, T)$



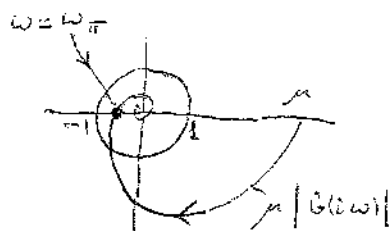
Per $\omega = \omega_c$ si ha $|G| = 1/\mu \Rightarrow \left| \frac{e^{-i\omega_c T}}{1 + i\omega_c T} \right| = \frac{1}{\mu}$

$$\sqrt{1 + \omega_c^2 T^2} = \mu \iff |1 + i\omega_c T| = \mu$$

$$\omega_c = \frac{\sqrt{\mu^2 - 1}}{T}$$



Calcolo di $k_m(\frac{\pi}{T}, \mu)$



$$\mu |G(i\omega_\pi)| = \frac{1}{k_m} \Rightarrow \frac{\mu}{\sqrt{1 + \omega_\pi^2 T^2}} = \frac{1}{k_m}$$

$$\omega_\pi T = \sqrt{k_m^2 \mu^2 - 1}$$

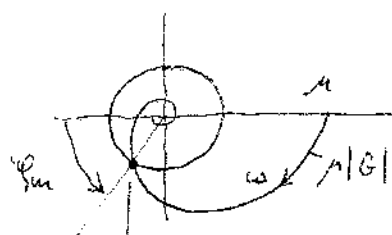
$$\arg G(i\omega_\pi) = -\pi \Rightarrow \omega_\pi T + \arctan \omega_\pi T = \pi$$

per cui

$$\frac{\pi}{T} \sqrt{k_m^2 \mu^2 - 1} + \arctan \sqrt{k_m^2 \mu^2 - 1} = \pi$$

$$k_m = k_m\left(\frac{\pi}{T}, \mu\right)$$

Calcolo di $\varphi_m(\frac{\pi}{T}, \mu)$



$$\omega = \omega_c = \frac{\sqrt{\mu^2 - 1}}{T} \quad (\text{vedi sopra})$$

$$\arg G(i\omega_c) = -\pi + \varphi_m$$

$$\omega_c T + \arctan \omega_c T = \pi - \varphi_m$$

$$\frac{\pi}{T} \sqrt{\mu^2 - 1} + \arctan \sqrt{\mu^2 - 1} = \pi - \varphi_m$$

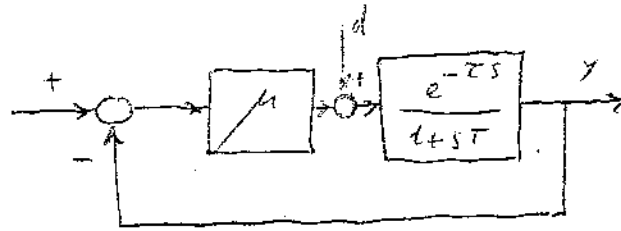
$$\varphi_m = \pi - \frac{\pi}{T} \sqrt{\mu^2 - 1} - \arctan \sqrt{\mu^2 - 1}$$

$$\varphi_m = \varphi_m\left(\frac{\pi}{T}, \mu\right)$$

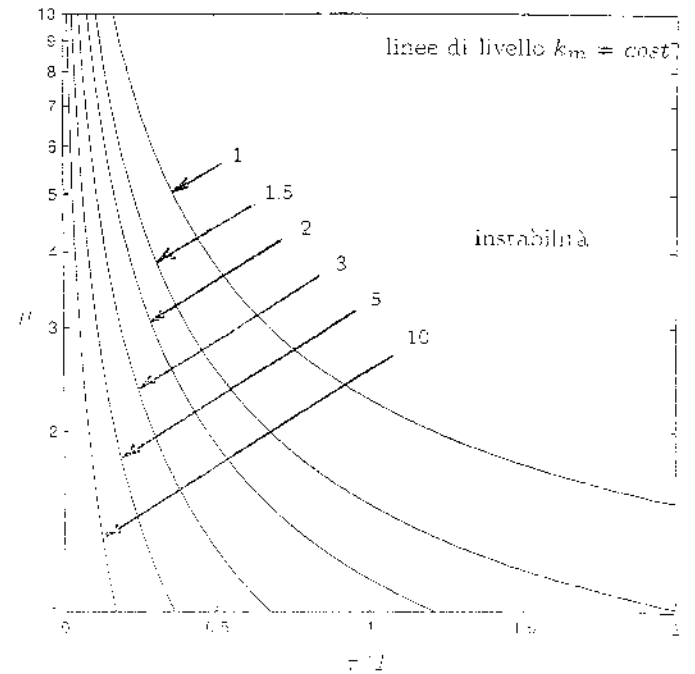
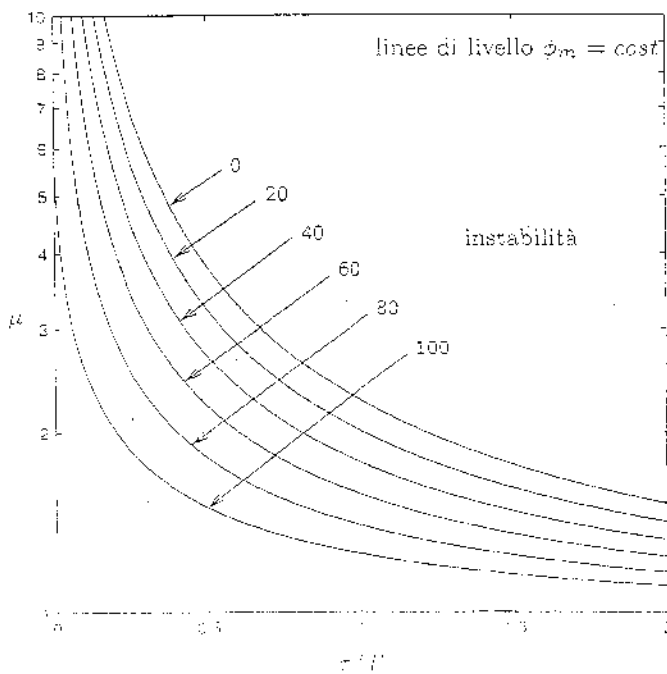
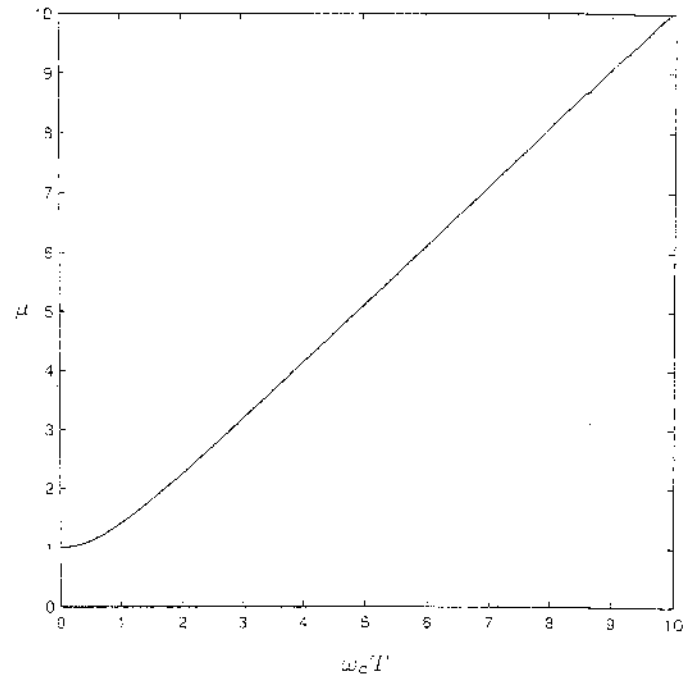
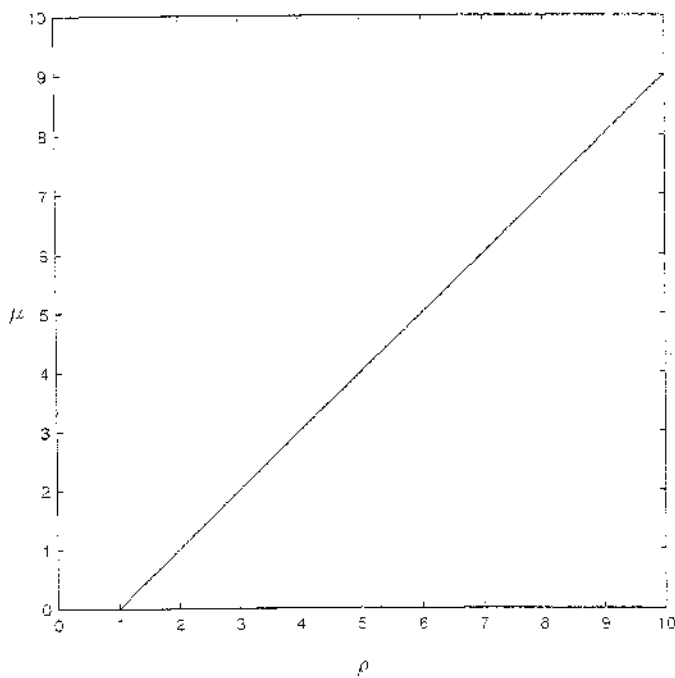
QUATTRO DIAGRAMMI UTILI

49/3

Le quattro relazioni trovate per ρ , ω_c , k_m e P_m riguardanti il sistema di controllo



possono essere utilmente diagrammate



Lista di sistemi di controllo in retroazione

1. controllo della portata di alimentazione di un impianto chimico
2. controllo del moto di un convoglio
3. controllo di un satellite geostazionario
4. controllo della temperatura del cervello nei mammiferi
5. controllo dello spessore di un laminato in PVC
6. controllo di posizione angolare di un apparato di trasmissione
7. controllo della velocità di uno yacht
8. controllo del rilascio di un lago ad uso irriguo

I primi 4 esempi sono stati già trattati (con tecniche diverse e con enfasi al problema della stabilità del sistema retroazionato).

Gli esempi 5, 6 e 7 verranno trattati qui di seguito.

Lo scopo è quello di mostrare come si possa procedere per progettare, per tentativi, un regolatore accettabile.

Con l'ultimo esempio verrà mostrato un caso in cui ci si preoccupa di determinare un controllore efficiente.

Regolazione dello spessore di un laminato

Un apparato di estrusione produce tubi in PVC secondo lo schema mostrato in figura.

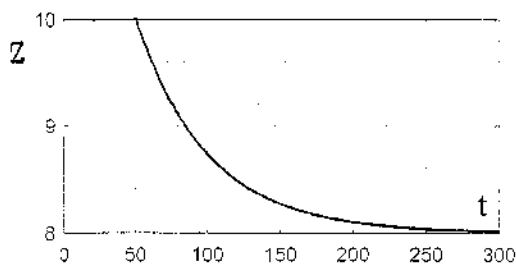


Il tubo è prodotto in continuo a partire da materia prima in forma granulare. Questa viene fusa per riscaldamento e prende la sezione desiderata attraversando una testa di estrusione opportunamente sagomata. Il tubo esce dalla testa di estrusione ancora in stato semiplastico e attraversa una camera di calibrazione nella quale diventa definitivamente solido. All'uscita della camera di calibrazione, dove è posto un sistema di traino (a velocità costante) per agevolare lo scorrimento del tubo via via prodotto, lo spessore z del tubo è misurato in continuo con un sensore a raggi infrarossi. Lo spessore del tubo è funzione della potenza elettrica P dissipata dalla resistenza della testa di estrusione e della temperatura ambiente T .

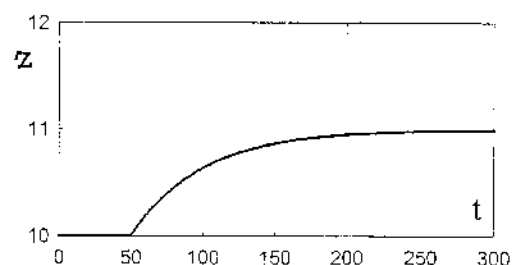
L'obiettivo è di produrre un tubo con spessore z costante nel tempo e il più possibile vicino al valore nominale prefissato. In particolare, lo spessore deve essere pari a 10 [mm] con tolleranza ± 0.2 [mm]. Sull'apparato sono state effettuate due prove a partire dalla situazione di regime nominale:

$$\bar{P} = 1000 [\text{w}] \quad \bar{T} = 20 [^{\circ}\text{C}] \quad \bar{z} = 10 [\text{mm}]$$

I risultati ottenuti (andamento nel tempo dello spessore misurato) sono i seguenti (spessori in [mm], tempo in [s]):



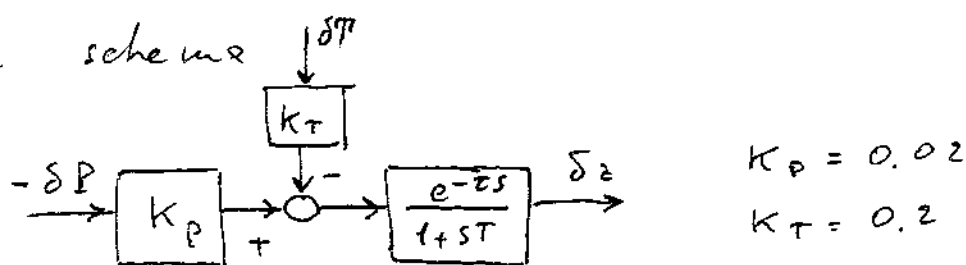
Variazione a scalino di P da 1000 [w] a 1100 [w]



Variazione a scalino di T da 20 [$^{\circ}\text{C}$] a 15 [$^{\circ}\text{C}$]

Descrizione del sistema

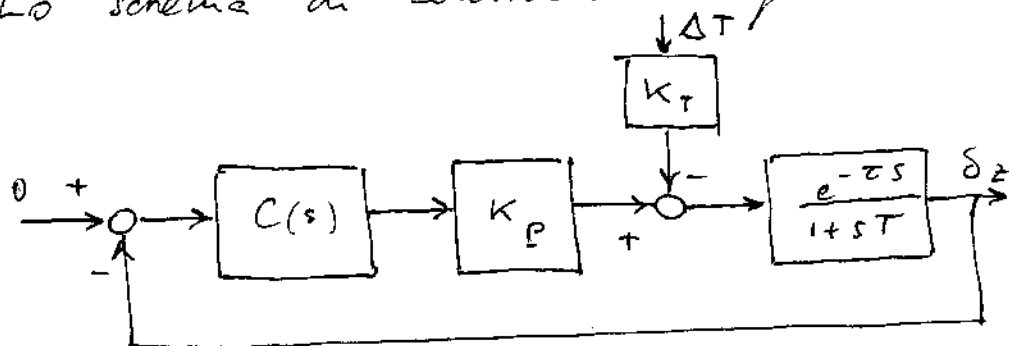
Poiché le due risposte allo scalino sono quelle di un sistema costituito dalla cascata di un ritardatore puro ($e^{-\tau s}$) e di una costante di tempo ($1/(1+sT)$) con $\tau = T = 50$ [sec], il sistema è descritto dal seguente schema



dove δP , δT e δz sono le variazioni di P , T e z rispetto alle condizioni nominali.

Schema di controllo

Lo schema di controllo è pertanto il seguente



dove la f.d.t. del trasduttore (in linea di retroazione) è stata approssimata con $G_T = 1$ visto che il sensore a raggi infrarossi ha dinamiche molto rapide.

Per quanto riguarda il controllore (che è da progettare, possiamo limitarci a quelli con f.d.t.

$$C(s) = K_c \frac{1 + s t_c}{1 + s T_c} \quad (\text{tre parametri})$$

Prescrizioni

Per garantire che il sistema di controllo sia stabile anche in condizioni perturbate (ad esempio, velocità di trascinamento diverse da quella nominale, ...) richiediamo che

$$\varphi_m \geq 50^\circ \quad k_m > 1.5$$

Inoltre, deve essere

$$|\delta z| \leq 0.2$$

per variazioni anche consistenti (diciamo $|\Delta T| = 10 [^\circ\text{C}]$) della temperatura.

Infine, possiamo auspicare che la banda passante del sistema ad anello chiuso sia paragonabile a quella del sistema ad anello aperto che è pari solo a 0.02 Hz .

Progetto statico (calcolo del guadagno d'anello)

L'errore massimo a regime $|\delta \bar{z}|$ è quello corrispondente a $|\delta T| = 10 [^\circ\text{C}]$ e (notando che $e^{-\tau s} / (1 + sT) = 1$ per $s=0$) esso è dato da

$$|\delta \bar{z}| = \frac{K_T}{1 + (K_c K_p)} \cdot 10$$

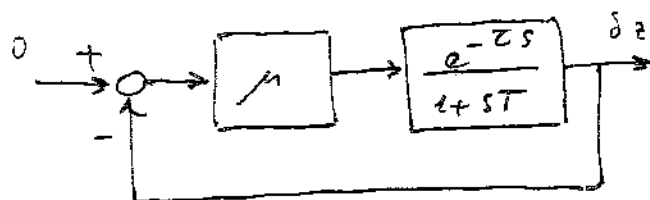
guadagno d'anello μ

La condizione $|\delta \bar{z}| \leq 0.2$ fornisce, quindi, $K_c \geq 450$

Scegliamo $K_c = 500$ per cui $\mu = 10$

Progetto dinamico con controllore proporzionale

Se supponiamo che il controllore sia semplicemente proporzionale, cioè $C(s) = K_C$, otteniamo il seguente sistema retroazionato

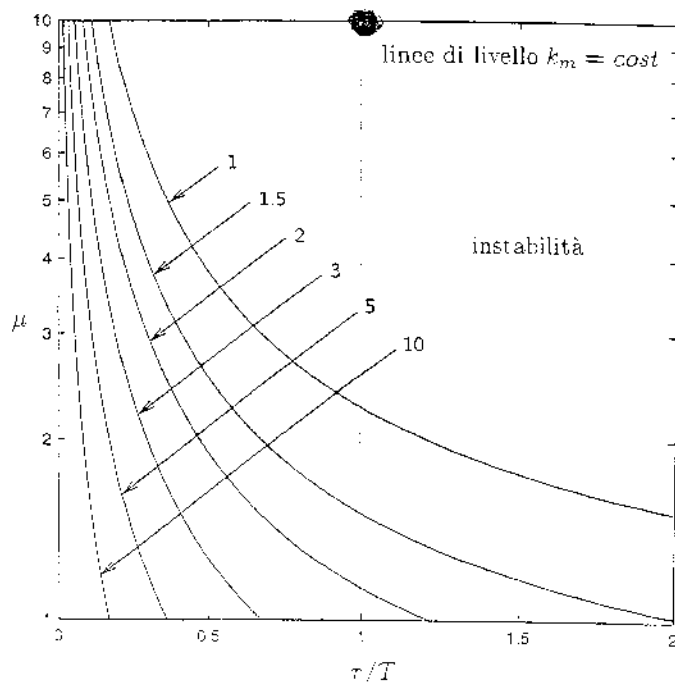
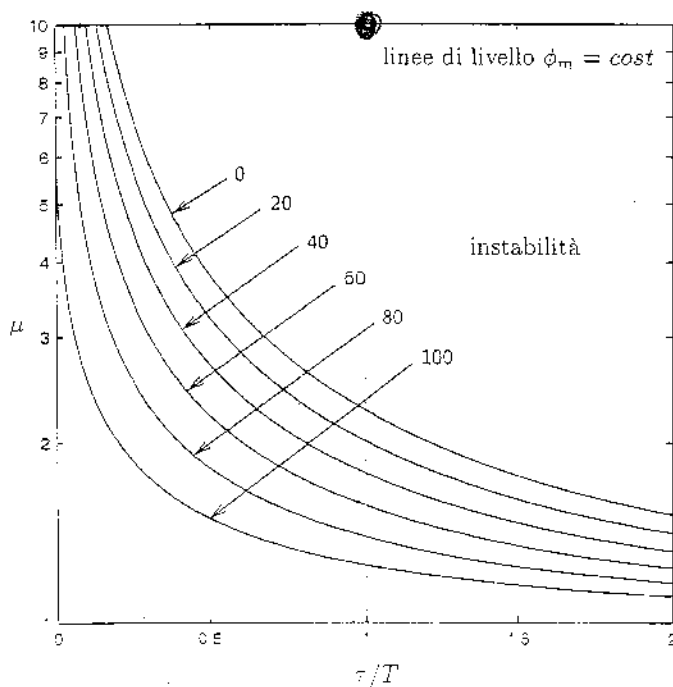


$$\mu = 10$$

$$\tau = T = 50$$

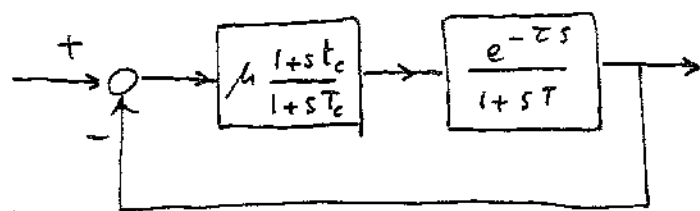
Questo sistema non solo non verifica le condizioni sui margini di fase e guadagno ma è addirittura instabile.

Infatti nei due diagrammi che seguono i punti $(\frac{\tau}{T} = 1, \mu = 10)$ cadono nelle zone di instabilità



Progetto dinamico con controllore a tre parametri

504

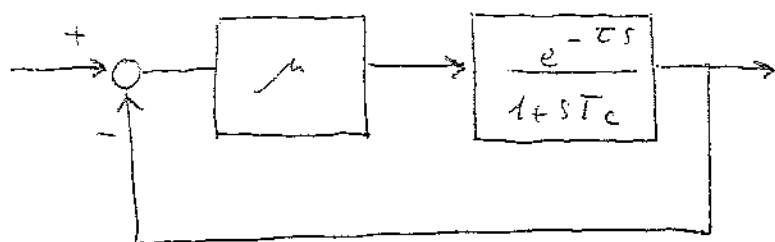


$\mu = 10$ per soddisfare le
prescrizioni sulle
tolleranze

Possiamo a priori fissare

$$T_c = T$$

in modo da cancellare il polo del processo con lo
zero del controllore. Così facendo otteniamo



$$\mu = 10$$

$$\tau = 50$$

che è il solito schema discusso in precedenza.

Il parametro T_c è da scegliere in modo che

$$\varphi_m \geq \varphi_m^* = 50$$

(*)

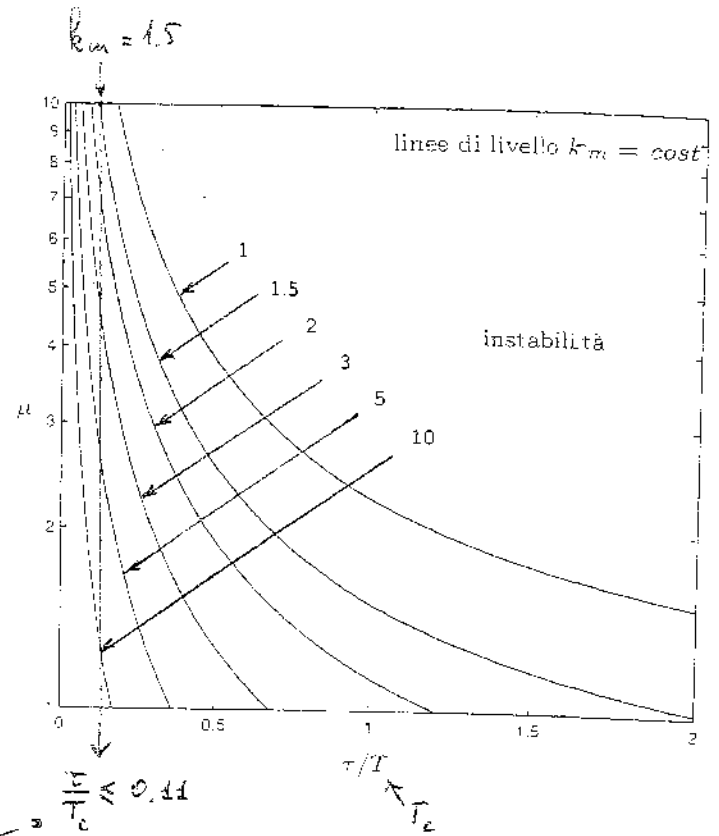
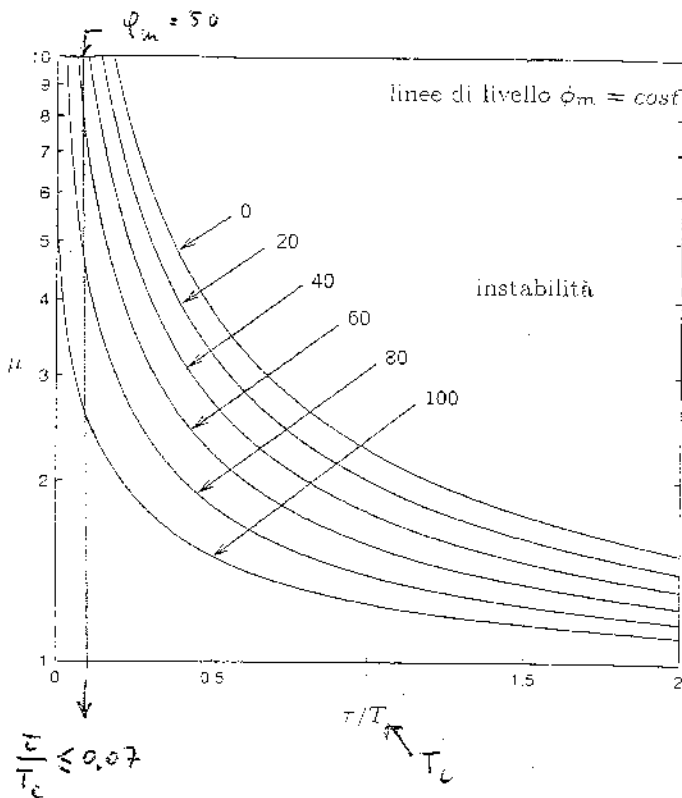
$$k_m \geq k_m^* = 1.5$$

Per questo si può far ricorso ai soliti diagrammi
per ricavare un valore di T_c che soddisfi le (*)

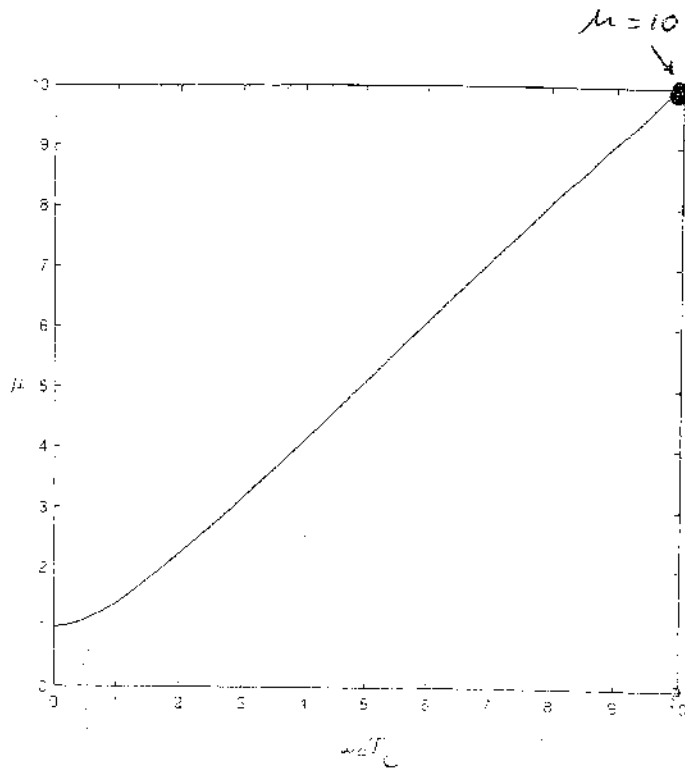
Poi con il diagramma di $\omega_c = \omega_c(\mu, T)$ si

può ricavare ω_c e vedere se non differisce
troppo dal valore della banda ad anello aperto che

$$\text{è } B = \left[0; \frac{1}{T}\right] = \left[0; \frac{1}{50}\right].$$



$$\frac{\tau}{T_c} \leq 0.07 \Rightarrow T_c \geq \frac{\tau}{0.07} \Rightarrow T_c \geq 714 \Rightarrow T_c = 750$$



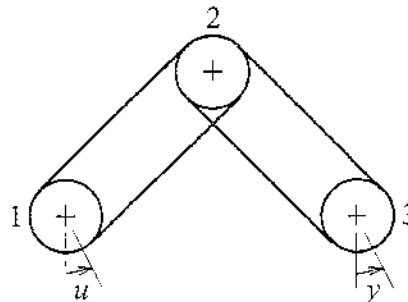
$\omega_c T_c = 10$

$\omega_c = \frac{10}{750} = \frac{1}{75}$

accettabile perché poco
diverso da $\frac{1}{T} = \frac{1}{70}$

Controllo di posizione angolare

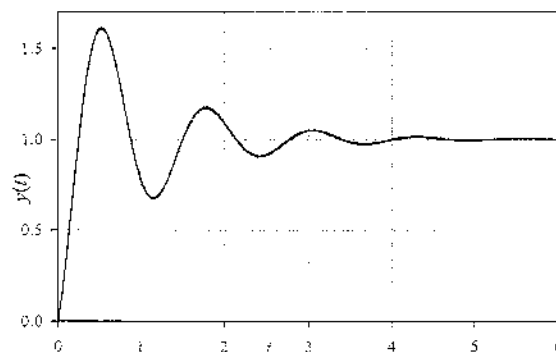
Un apparato di trasmissione meccanica è composto da tre pulegge orizzontali collegate da due cinghie elastiche.



La puleggia 1 è comandata da un motore che ne impone la posizione angolare u . La puleggia 3 è connessa a un carico: la sua posizione angolare y è misurata da un sensore.

Sul sistema sono state effettuate le seguenti prove:

1) **Risposta allo scalino:** all'ingresso u è stato applicato all'istante $t = 0$ uno scalino di ampiezza 1 [rad]. La risposta rilevata in uscita è stata la seguente:



2) **Risposta in frequenza:** l'ingresso u è stato posto pari a $u(t) = U \sin(\omega t)$ per vari valori di ω . La risposta rilevata in uscita, esaurito il transitorio, è stata del tipo $y(t) = Y \sin(\omega t + \varphi)$, con Y/U dato dalla tabella seguente:

ω [rad/s]	1	2	5	10	20	50	100	200	500	1000
Y/U	1.04	1.18	2.89	0.47	0.15	0.05	0.02	0.012	0.004	0.0018

A) Formulare un modello matematico dell'apparato nel dominio delle frequenze, basandosi sui risultati delle prove sopra descritte.

B) Si voglia progettare un sistema di controllo per l'apparato di trasmissione. Formulare requisiti di progetto ragionevoli, tenendo conto che si desiderano alta precisione di posizionamento a regime (idealmente $y = u$), risposte veloci con ridotte oscillazioni, stabilità robusta.

C) Determinare un controllore che soddisfi i requisiti formulati al punto B.

(A) Modello del processo

La risposta allo scalino evidenzia quanto segue

(a) $y_{\infty} = 1 \Rightarrow \mu_P = 1$

(b) $\dot{y}(0) > 0 \Rightarrow \text{surplus di poli} = 1$

(c) esistenza di poli complessi coniugati con basso smorzamento
Una possibile funzione di trasferimento \bar{c} , pertanto,

$$P(s) = \mu_P \omega_n^2 \frac{1 + s\tau}{s^2 + 2\zeta\omega_n s + \omega_n^2} = \frac{\mu_P \omega_n^2 \tau s + \mu_P \omega_n^2}{s^2 + 2\zeta\omega_n s + \omega_n^2} = \frac{\beta_1 s + \beta_2}{s^2 + \alpha_1 s + \alpha_2}$$

Poiché $\dot{y}(0) = \beta_1$ e dalla figura risulta $\dot{y}(0) = 4.25$

deve essere $\mu_P \omega_n^2 \tau = 4.25$. D'altra parte, sempre dalla figura, si può valutare il periodo di oscillazione

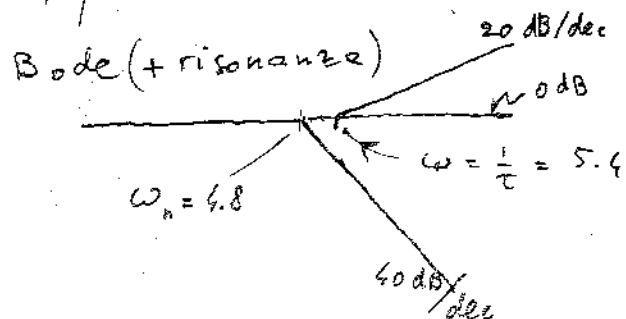
T_{osc} che è circa uguale a $2\pi/\omega_n$ (perché la pulsazione ω_{osc} è circa uguale a ω_n), per cui

$$\omega_n = \frac{2\pi}{T_{osc}} = \frac{6.28}{1.3} = 4.8$$

In conclusione, una stima di τ è

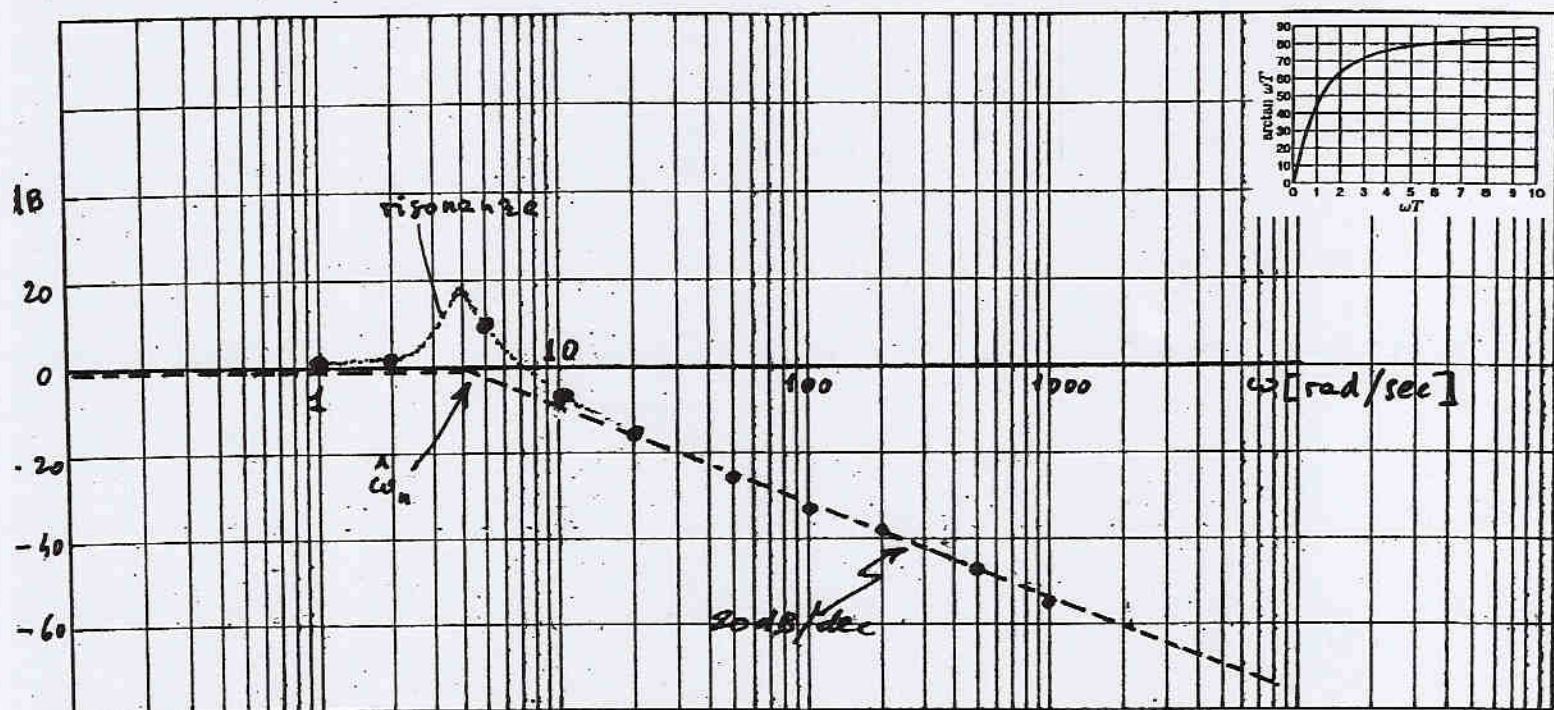
$$\tau = \frac{4.25}{\mu_P \omega_n^2} = \frac{4.25}{(4.8)^2} = 0.184$$

La risposta in frequenza che ci si può aspettare è, quindi, la somma dei due seguenti diagrammi di



(A) Modello del processo (continuo)

Per confermare quanto dedotto nella pagina precedente possiamo sfruttare i dati di risposta in frequenza. Calcolando $(Y/U)_{dB}$ e riportando tali valori su carte logaritmiche otterriamo quanto segue



In conclusione, i dati raccolti con le due prove permettono di dedurre che la funzione di trasferimento del processo è, con buona approssimazione, data da

$$P(s) = \frac{1}{s} \frac{\omega_n^2}{s^2 + 2\zeta\omega_n s + \omega_n^2} \quad \text{con } \mu_P = 1, \quad \hat{\omega}_n = 4.2, \quad \tau = 0.184$$

e ζ basso (non stimato)

Poiché $\tau \approx \frac{1}{\omega_n}$, tale funzione di trasferimento è esprimibile (a parte il picco di risonanza) da

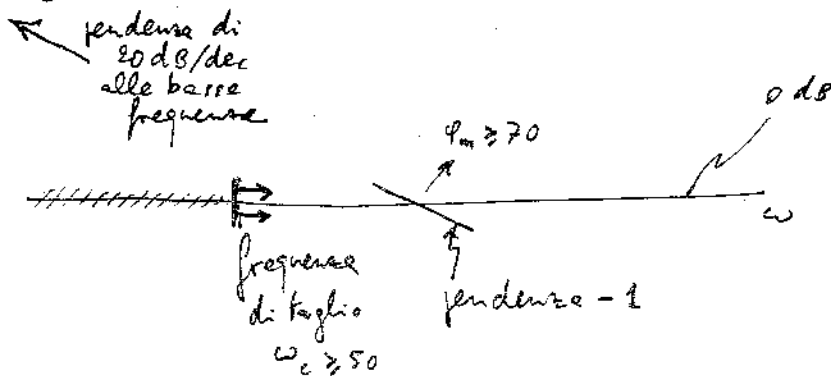
$$P(s) = \frac{1}{1+sT} \quad \text{con } T = \frac{1}{2} \left(\frac{1}{\omega_n} + \tau \right) \approx 0.20$$

(B) Prescrizioni

51/5

- Alta precisione di posizionamento \Rightarrow errore nullo \Rightarrow tipo 1 (cioè un integratore $\frac{1}{s}$ nel regolatore)
- Risposte veloci \Rightarrow bassa costante di tempo dominante del sistema ad anello chiuso, per esempio 10 (o più volte più piccola della costante di tempo del sistema controllato ($T = 0.20$)) $\Rightarrow \omega_c \geq \frac{10}{T} \approx 50 \frac{\text{rad}}{\text{sec}}$
- Ridotte oscillazioni \Rightarrow polo dominante reale o poli dominanti complessi con ξ elevato (0.7) \Rightarrow diagramma di Bode che taglia l'asse a 0 dB con pendenze -1 e $\varphi_m \geq 100 \cdot \xi_{\text{min}}^{0.7} = 70^\circ$
- Stabilità robusta φ_m grande, k_m grande
per esempio $\varphi_m \geq 60^\circ$ $k_m \geq 2$

Riassumendo



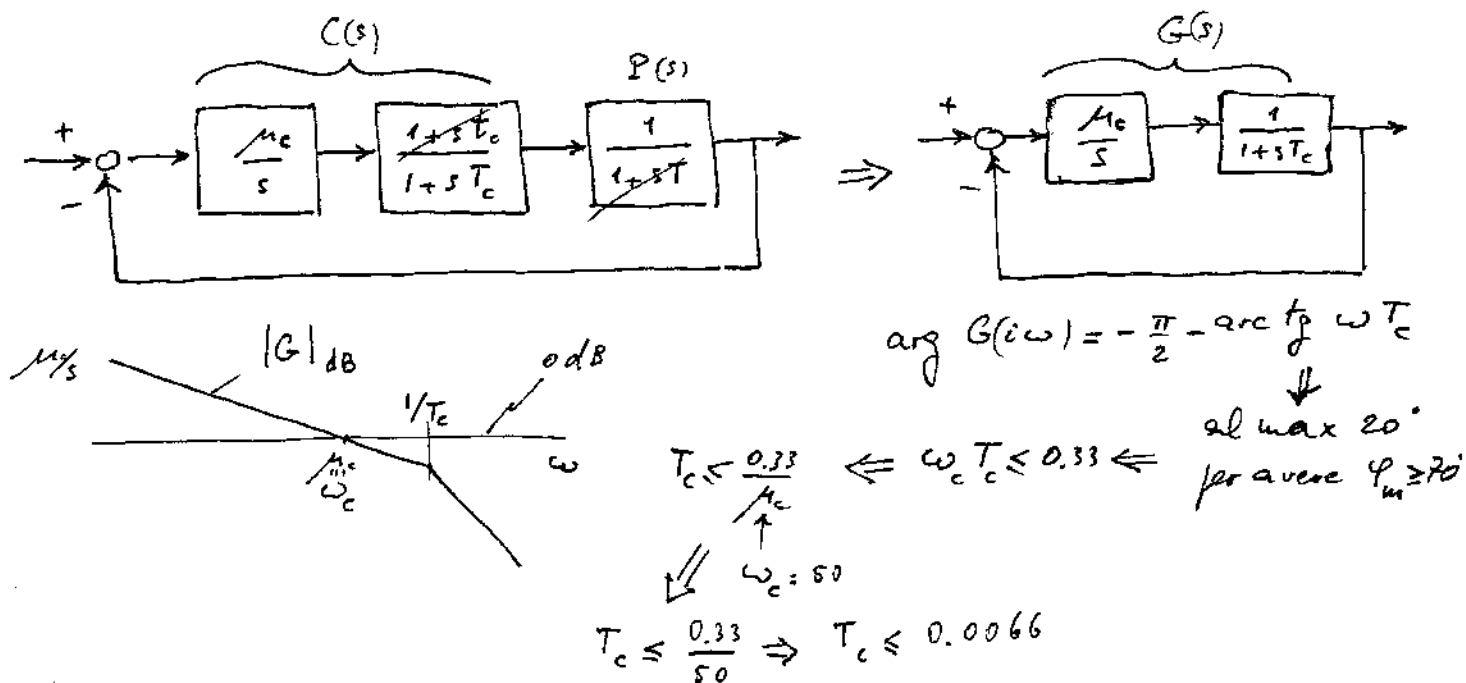
C) Sintesi del controllore

50/1

Si può considerare un controllore con funzione di trasferimento

$$C(s) = \frac{\mu_c}{s} \frac{1 + s t_c}{1 + s T_c} \quad (*) \quad \left(\begin{array}{l} \text{integratore in cascata e una} \\ \text{rete anticipatrice} \end{array} \right)$$

e usare lo zero $(-1/t_c)$ per cancellare il polo $(-1/T)$ del processo



Scegliamo $T_c = 0.005$

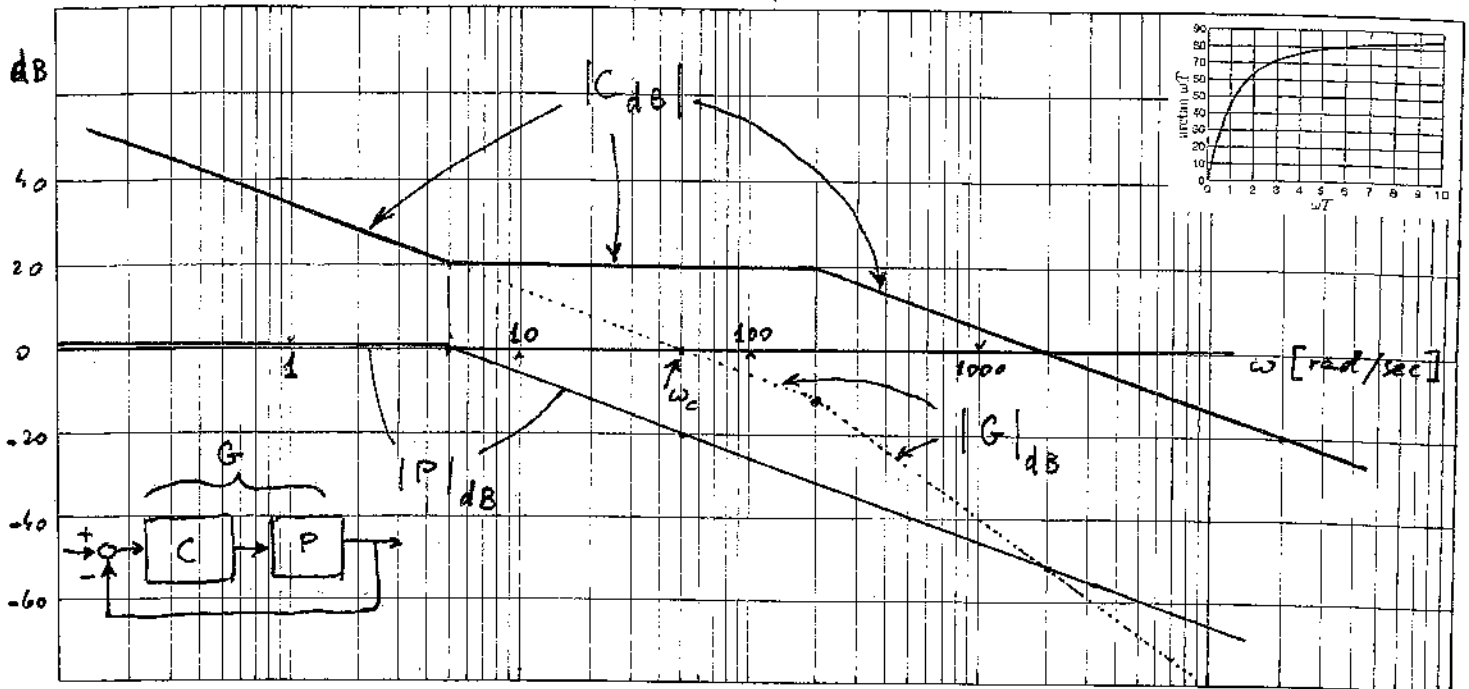
Pertanto, la f. d. t. del regolatore è la (*) con

$$\mu_c = 50 \quad t_c = 0.20 \quad T_c = 0.005$$

In conclusione, tutte le prescrizioni sono soddisfatte (il margine di guadagno k_m è addirittura infinito perché $\mu_{crit} = \infty$)

Per sicurezza si possono fare delle simulazioni come mostrato nelle pagine seguenti, insieme a un riassunto di quanto fatto.

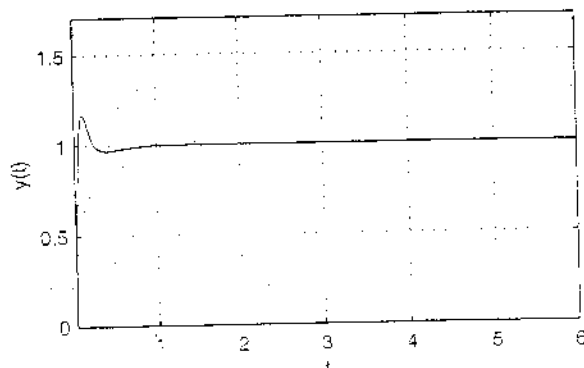
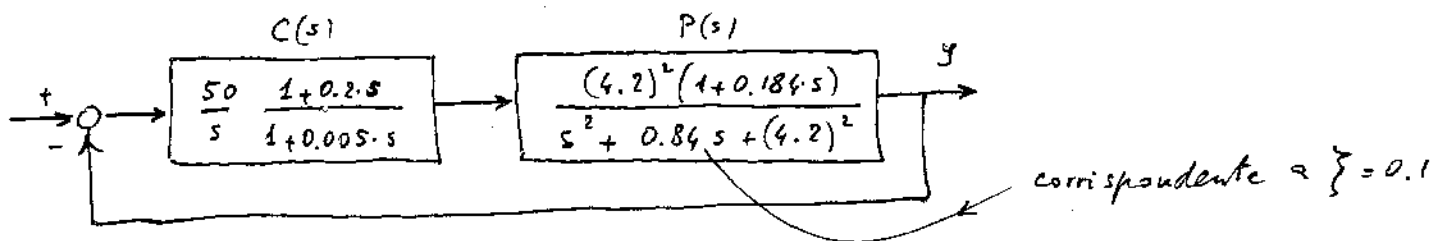
Riassunto di quanto fatto



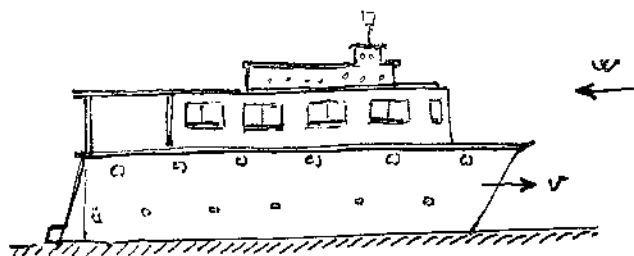
banda passante del sistema ad anello chiuso $B = [0, \omega_c] = [0, 50]$

costante di tempo dominante ad anello chiuso $T_{dom} = \frac{1}{\omega_c} = \frac{1}{50} = 0.02$

Simulazione (su Matlab) della risposta allo scalino del sistema ad anello chiuso



Questa figura, confrontata con la risposta allo scalino del processo non regolato (prime pagine), mostra i vantaggi della regolazione. Si può verificare che il valore atteso di ζ è influente (perché?)



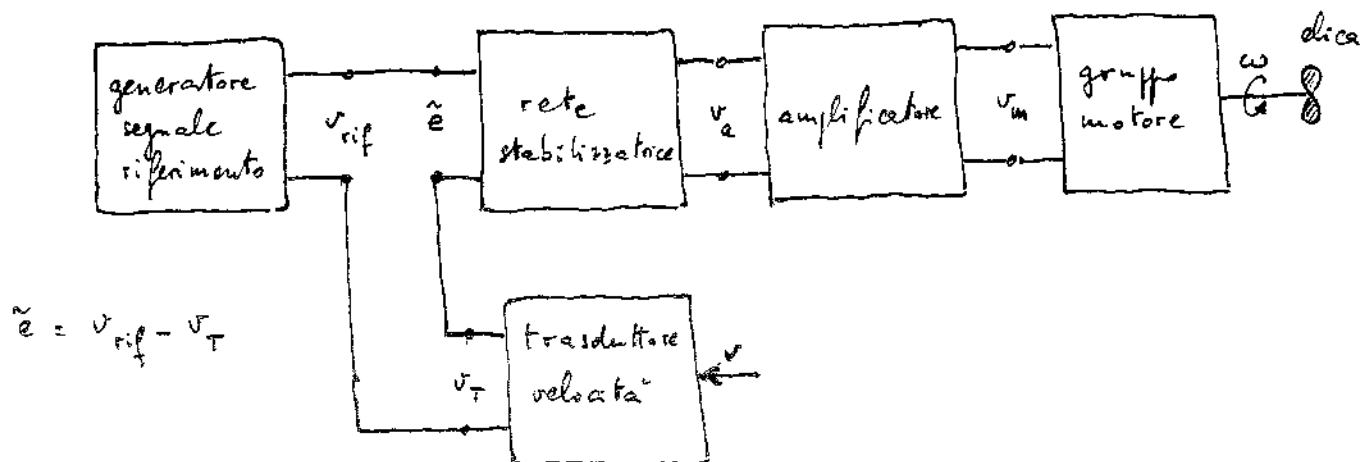
Requisiti:

- (a) ridurre di 20 volte l'effetto del vento
- (b) andare a regime 3 volte più in fretta
- (c) margine di fase di 60°

Dati

- A motori spenti lo scafo si ferma in 2 minuti.
- La costante di tempo elettrica del motore (dato di targa) è $T'_m = 0.1 \text{ sec.}$
- L'elica va a regime in 10 sec.
- Il trasduttore di velocità ha guadagno unitario ($10 \text{ V} = 10 \text{ m/sec}$) e costante di tempo $T_T = 0.01 \text{ sec}$
- L'amplificatore che alimenta il motore ha banda passante di 1000 Hz .

Schema di controllo



Dinamica dello yacht

$m \dot{v} = \text{spinta} - \text{forza d'attrito}$
 /
 massa

↑
 proporzionale
 alla velocità
 angolare ω
 dell'elica

↓
 due componenti:
 acqua ($\equiv v$) e
 aria ($\equiv v + w$)
 ↑ velocità del vento

$$m \dot{v} = K \omega - h' v - h'' (v + w)$$

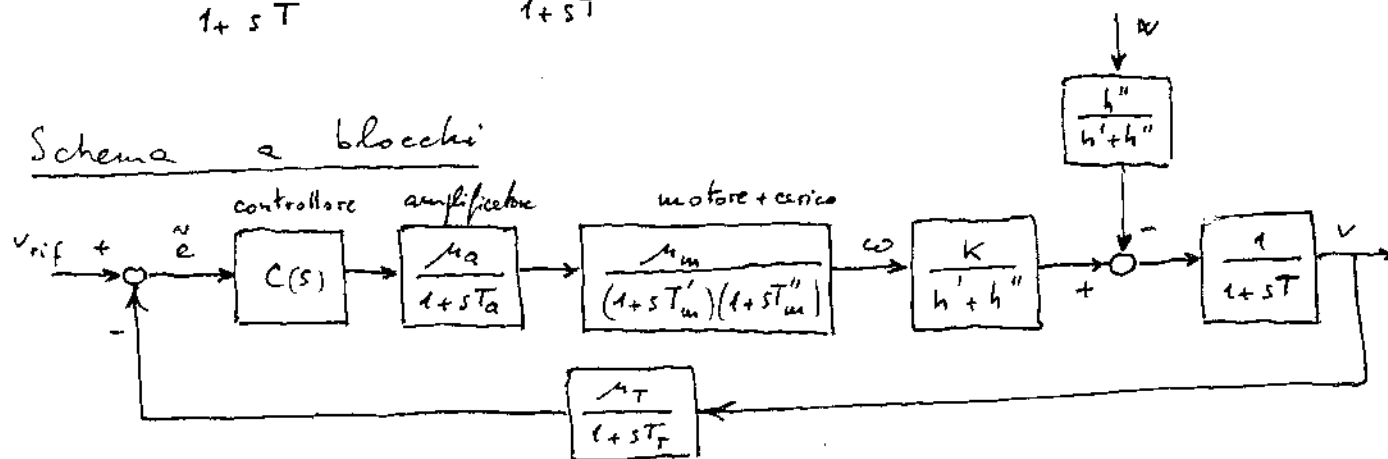
$$m s V = K \Omega - h' V - h'' V - h'' W$$

$$(m s + h' + h'') V = K \Omega - h'' W$$

$$\left(1 + s \frac{m}{h' + h''}\right) V = \frac{K \Omega}{h' + h''} - \frac{h''}{h' + h''} W$$

$$V = \frac{K}{\frac{h' + h''}{1 + s T}} \Omega - \frac{\frac{h''}{h' + h''}}{1 + s T} W$$

Schema a blocchi



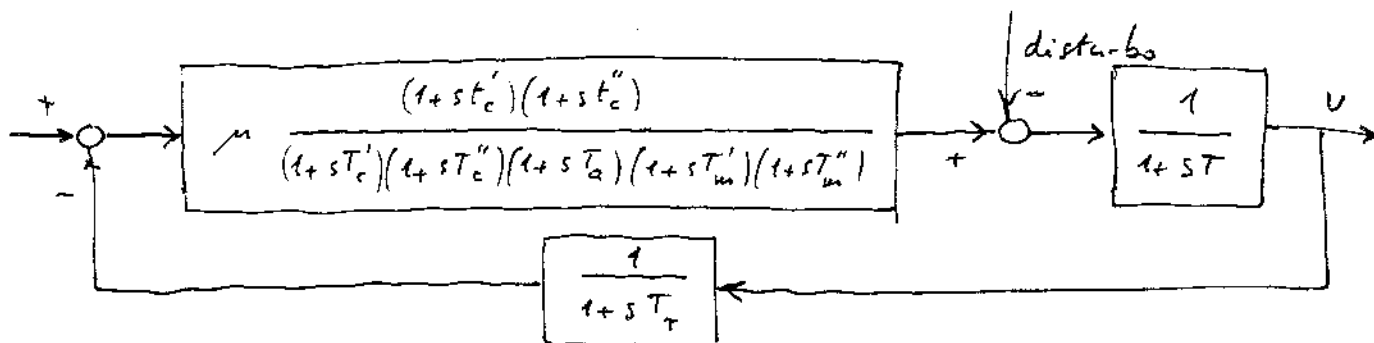
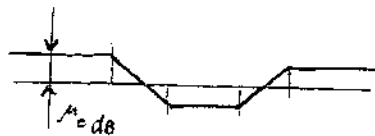
Dati: segue che $T_a = 0.001 \text{ sec.}$ $T'_m = 0.1 \text{ sec.}$
 $T''_m = \frac{1}{5} \cdot 10 = 2 \text{ sec.}$ $T = \frac{1}{5} \cdot 60 \times 2 = \frac{120}{5} = 24 \text{ sec.}$
 $\mu_T = 1$ $T_T = 0.01 \text{ sec.}$

Inoltre, poniamo

$$\mu = \mu_c \cdot \mu_a \cdot \mu_m \cdot \frac{K}{h' + h''}$$

Per quanto riguarda il controllore consideriamo la famiglia delle reti a sella

$$C(s) = \mu_c \frac{(1+s t'_c)(1+s t''_c)}{(1+s T'_c)(1+s T''_c)}$$



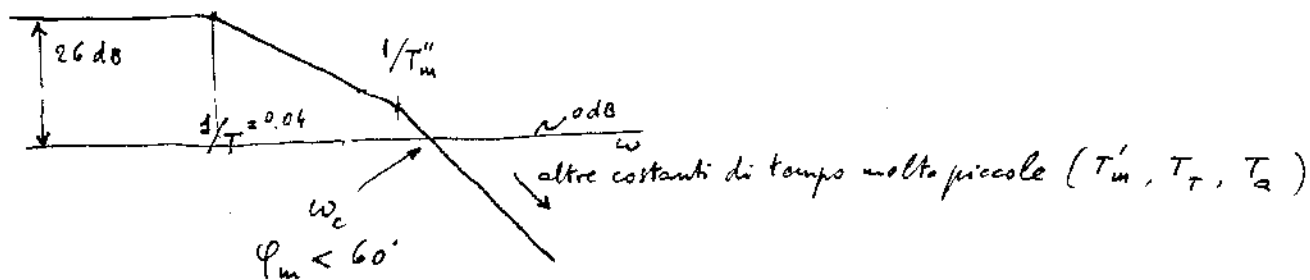
Progetto statico

A regime il disturbo è ridotto di $(1+\mu)$ volte

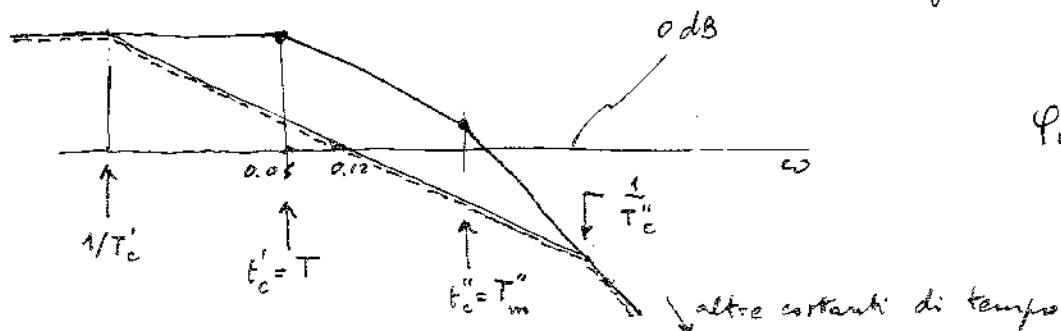
$$\begin{aligned} \Downarrow \\ \mu &= 20 \\ \Downarrow \\ \mu_{dB} &= 26 \end{aligned}$$

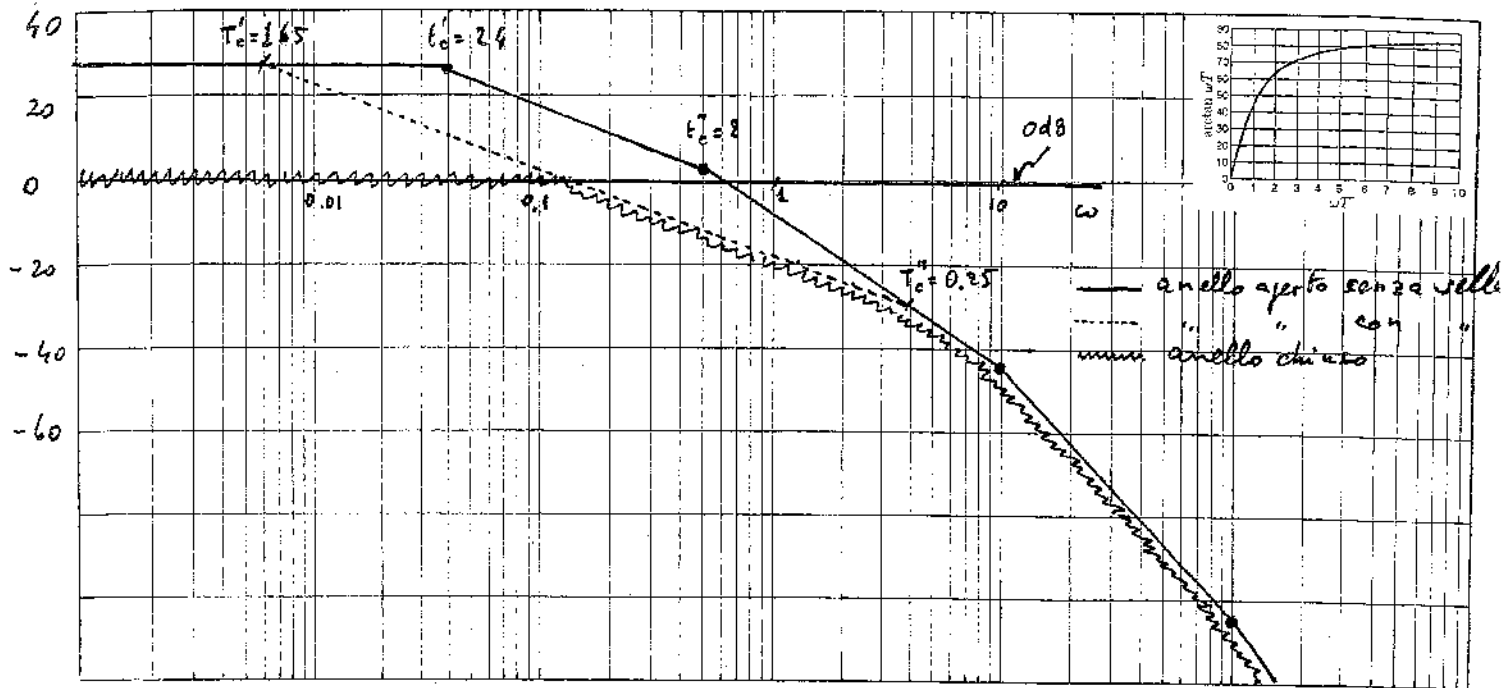
Progetto dinamico ($\omega_c \geq 0.12$, $\varphi_m \geq 60^\circ$)

I ipotesi: solo $\mu_c = 20$



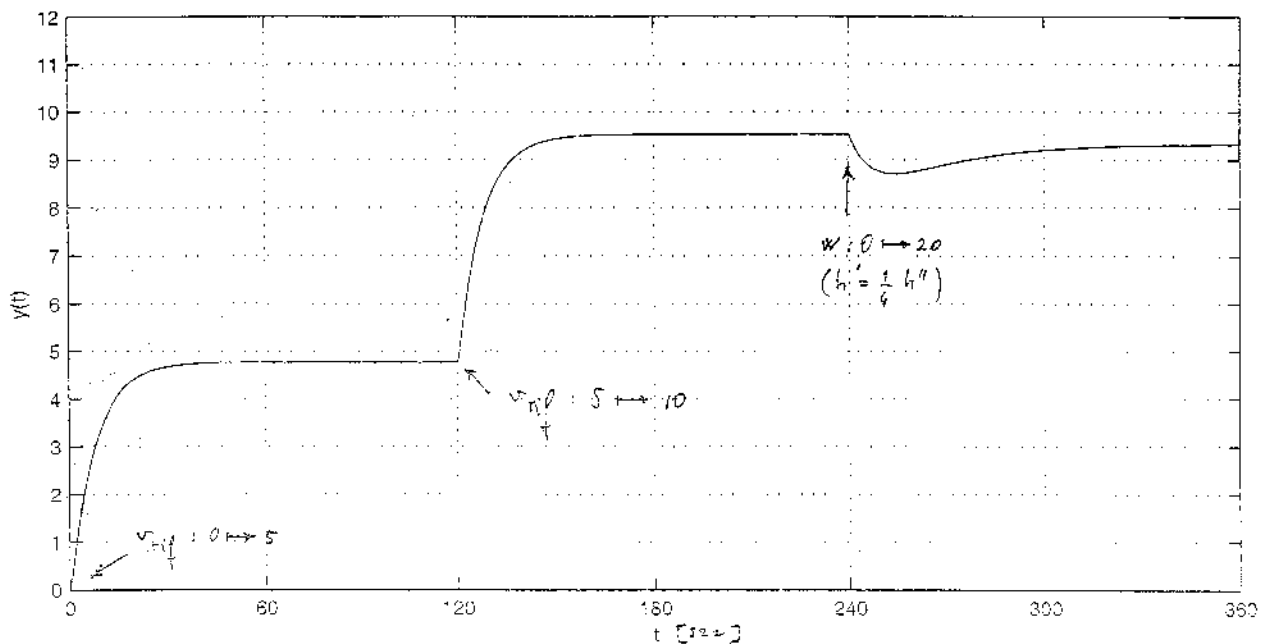
II ipotesi: rete a sella (si parte dal punto $\omega_c = 0.12$ e si traccia il diagramma desiderato)



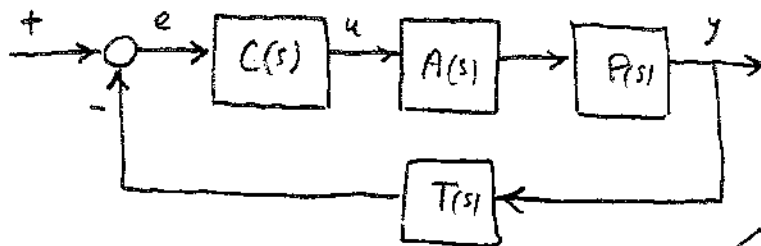


In pratica abbiamo cancellato due poli del sistema (yacht e elica) con due zeri della rete a sella.

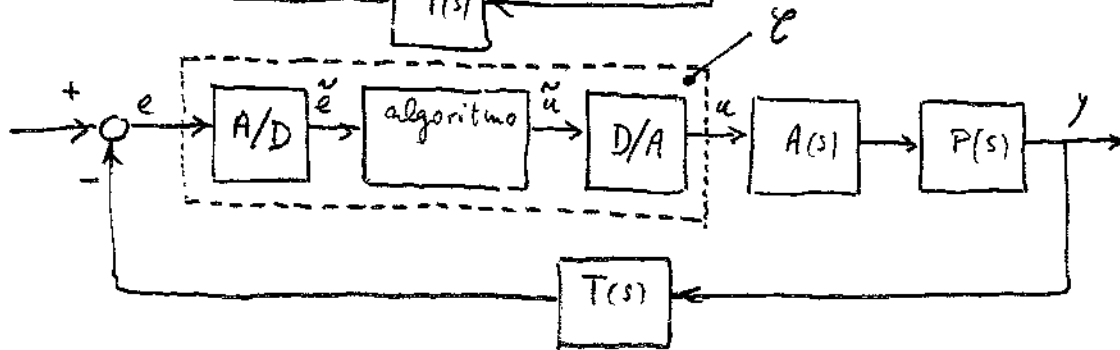
Per sicurezza, si possono effettuare alcune simulazioni come la risposta a una variazione a scalino della velocità di riferimento e della velocità del vento.



REALIZZAZIONE DIGITALE DEL CONTROLLORE

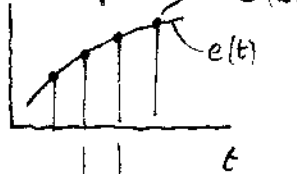
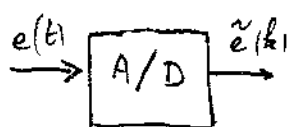


abbiamo visto come
si possa determinare $C(s)$



C è la
realizzazione
digitale di C

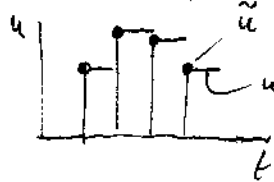
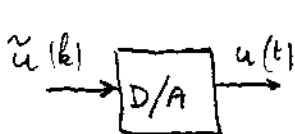
Convertitore analogico/digitale



$$\tilde{e}(k) = e(kT)$$

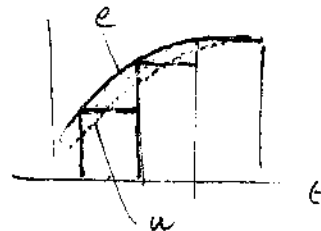
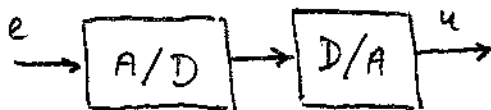
T = periodo di campionamento

Convertitore digitale/analogico



$u(t) = \tilde{u}(k)$ per $kT \leq t < (k+1)T$
Zero Order Holding (ZOH) = circuito
di mantenimento di ordine zero

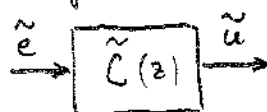
Osservazione



$$u(t) = e\left(t - \frac{T}{2}\right) +$$

+ rumore con primo
armonico $\omega = \frac{2\pi}{T}$

Algoritmo

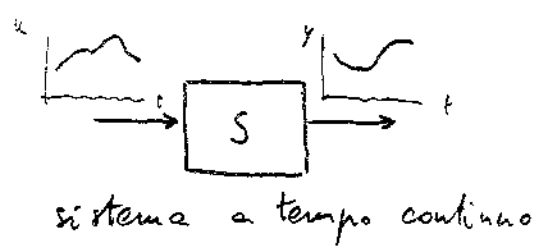


$$\tilde{u} = \tilde{C}(z) \tilde{e} \quad \text{cioè} \quad \tilde{C} = \frac{\tilde{\beta}_0 z^n + \dots + \tilde{\beta}_n}{z^n + \alpha_1 z^{n-1} + \dots + \alpha_n}$$

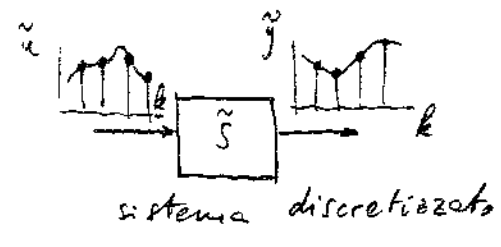
$$\tilde{u}(k) = -\tilde{\alpha}_1 \tilde{u}(k-1) - \dots - \tilde{\alpha}_n \tilde{u}(k-n) + \tilde{\beta}_0 \tilde{e}(k) + \dots + \tilde{\beta}_n \tilde{e}(k-n)$$

Problema 1 : come determinare $\tilde{C}(z)$ da $C(s)$ e T ?
Problema 2 : come determinare T

DISCRETIZZAZIONE DEL TEMPO



$$\begin{cases} \dot{x} = Ax + bu \\ y = c^T x + du \end{cases} \Rightarrow G(s)$$



$$\tilde{G}(z)$$

Come si può passare da G a \tilde{G} (e viceversa)? La risposta dipende dal metodo di discretizzazione usato. Consideriamo solo due metodi (classici) a passo di discretizzazione (T) fisso.

metodo di Eulero

$$\frac{\tilde{x}(k+1) - \tilde{x}(k)}{T} = A \tilde{x}(k) + b \tilde{u}(k)$$

$$\begin{cases} \frac{z-1}{T} \tilde{x} = A \tilde{x} + b \tilde{u} \\ \tilde{y} = c^T \tilde{x} + d \tilde{u} \end{cases}$$

$$\Downarrow$$

$$\tilde{G}(z)$$

$$\begin{cases} \dot{x}(t) = Ax(t) + bu(t) \\ y(t) = c^T x(t) + du(t) \end{cases}$$

$$\begin{cases} sX = AX + bu \\ y = c^T X + du \end{cases}$$

$$\Downarrow$$

$$G(s)$$

metodo di Tustin

$$\frac{\tilde{x}(k+1) - \tilde{x}(k)}{T} = A \frac{\tilde{x}(k+1) + \tilde{x}(k)}{2} + b \frac{\tilde{u}(k+1) + \tilde{u}(k)}{2}$$

$$\frac{z-1}{T} \tilde{x} = A \frac{z+1}{2} \tilde{x} + b \frac{z+1}{2} \tilde{u}$$

$$\begin{cases} \frac{z}{T} \frac{z-1}{z+1} \tilde{x} = A \tilde{x} + b \tilde{u} \\ \tilde{y} = c^T \tilde{x} + d \tilde{u} \end{cases}$$

$$\Downarrow$$

$$\tilde{G}(z)$$

$$s = \frac{z-1}{T}$$

$$\Downarrow$$

$$z = 1 + sT$$

$$\tilde{G}(z) = G\left(\frac{z-1}{T}\right)$$

$$G(s) = \tilde{G}(1 + sT)$$

$$\tilde{G}(z) = G\left(\frac{2}{T} \frac{z-1}{z+1}\right)$$

$$G(s) = \tilde{G}\left(\frac{1+sT/2}{1-sT/2}\right)$$

$$s = \frac{2}{T} \frac{z-1}{z+1}$$

$$\Downarrow$$

$$z = \frac{1+sT/2}{1-sT/2}$$

Più in generale : un metodo è caratterizzato da $s = \varphi(z)$ e $z = \varphi^{-1}(s)$

per cui

$$\tilde{G}(z) = G(\varphi(z))$$

$$G(s) = \tilde{G}(\varphi^{-1}(s))$$

$$\tilde{G}(z) = G(\varphi(z)) \quad z = \varphi^{-1}(s)$$

Se G è stabile bisogna che sia stabile anche \tilde{G} . Altrimenti significa che il metodo si "inventa" un'instabilità (dovuta all'approssimazione numerica).

Se $G(s)$ ha un polo in p (cioè per $s=p$ si ha $G(s)=\infty$) significa che $\varphi(z)=p \Rightarrow G=\infty \Rightarrow \tilde{G}(\varphi^{-1}(p))=\infty$, cioè

$$\boxed{\tilde{p} = \varphi^{-1}(p)} \text{ è la legge di trasformazione dei poli.}$$

Quindi, un metodo è stabile se

$$\operatorname{Re}(p) < 0 \Leftrightarrow |\tilde{p}| < 1$$

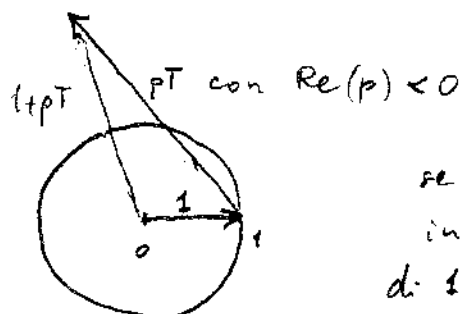
cioè se

$$|\varphi^{-1}(p)| < 1 \text{ per } \operatorname{Re}(p) < 0$$

metodo di Eulero

$$\varphi^{-1}(p) = 1 + pT$$

$$|\varphi^{-1}(p)| = |1 + pT|$$

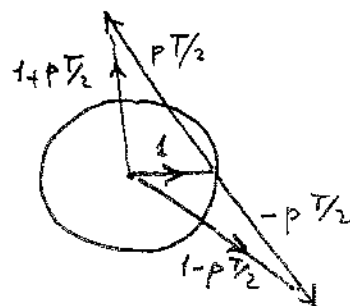


se T è grande (come in figure) il modulo di $1+pT$ può essere > 1

metodo di Tustin

$$\varphi^{-1}(p) = \frac{1 + pT/2}{1 - pT/2}$$

$$|\varphi^{-1}(p)| = \left| \frac{1 + pT/2}{1 - pT/2} \right| = \frac{|1 + pT/2|}{|1 - pT/2|}$$



quindi $|\varphi^{-1}(p)| < 1$ sempre (per $\operatorname{Re}(p) < 0$) perché il vettore $(1 - pT/2)$ ha sempre modulo maggiore del modulo del vettore $(1 + pT/2)$.

Per far sì che l'algoritmo approssimi bene il regolatore continuo è bene scegliere $\tilde{C}(z)$ discretizzando il sistema con f. d. t. $C(s)$. Per esempio, si può usare il metodo di Tustin (che non introduce instabilità numeriche) per cui

$$\tilde{C}(z) = C\left(\frac{2}{T} \frac{z-1}{z+1}\right)$$

SCELTA DEL PERIODO DI CAMPIONAMENTO T

Quando i campionamenti costano o quando sono fastidiosi o pericolosi c'è interesse a fare T grande.

Ci sono però vari motivi per fare T piccolo

- T piccolo per avere integrazioni numeriche accurate (e evitare l'instabilità numerica di certi metodi)
- $T \ll \frac{2\pi}{\omega_c}$ per poter trascurare il rumore ad alta frequenza introdotto dal convertitore D/A (ω_c è la banda del sistema ad anello chiuso mentre $2\pi/T$ è la pulsazione della 1^a armonica del rumore)
- $T \leq \frac{1}{\omega_c} \frac{\varphi_m}{10} \frac{2\pi}{180}$ (ottenuta imponendo che la perdita di margine di fase $(\omega_c \frac{T}{2})$ sia minore del 10%)